

**SINTESIS NANOPARTIKEL MAGNETIT (Fe<sub>3</sub>O<sub>4</sub>) SECARA ELEKTROLISIS  
DAN UJI ADSORPTIVITAS TERHADAP LOGAM BESI (Fe)**



**SKRIPSI**

Diajukan untuk Memenuhi Salah Satu Syarat Meraih Gelar Sarjana Sains Jurusan  
Kimia Pada Fakultas Sains dan Teknologi UIN Alauddin Makassar

**Oleh:**

**WINDA WIQRADHANI**

**60500112018**

UNIVERSITAS ISLAM NEGERI  
**ALAUDDIN**  
M A K A S S A R

FAKULTAS SAINS DAN TEKNOLOGI  
**UNIVERSITAS ISLAM NEGERI ALAUDDIN  
MAKASSAR**

2017

## PERNYATAAN KEASLIAN SKRIPSI

Mahasiswa yang bertandatangan dibawah ini :

Nama : Winda Wiqradhani  
NIM : 60500112018  
Tempat/tgl. Lahir : Soppeng, 23 April 1994  
Jurusan kimia : Kimia  
Fakultas : Sains dan Teknologi  
Judul Skripsi : Sintesis nanopartikel magnetit ( $\text{Fe}_3\text{O}_4$ ) secara elektrolisi dan uji adsorptivitas logam besi (Fe)

Menyatakan dengan sesungguhnya bahwa hasil penelitian saya ini tidak terdapat unsur-unsur penjiplakan karya penelitian atau karya ilmiah yang pernah dilakukan atau dibuat oleh orang lain kecuali secara tertulis dikutip dalam naskah ini dan disebutkan dalam sumber kutipan dan daftar pustaka.

Apabila ternyata penelitian ini terbukti terdapat unsur-unsur duplikat atau tiruan, maka saya bersedia untuk mempertanggung jawabkan serta diproses sesuai peraturan yang berlaku.

Samata-Gowa, 9 Maret 2017  
Penyusun

Winda Wiqradhani  
NIM: 60500112018

## PENGESAHAN SKRIPSI

Skripsi yang berjudul “Sintesis Nanopartikel Magnetite ( $\text{Fe}_3\text{O}_4$ ) Secara Elektrolisis dan Uji Adsorptivitas Logam Besi (Fe)” yang disusun oleh Winda Wiqradhani, NIM : 60500112018, mahasiswa Jurusan Kimia Fakultas Sains dan Teknologi UIN Alauddin Makassar, telah diuji dan dipertahankan dalam sidang munaqasyah yang diselenggarakan pada hari Senin tanggal 13 Maret 2017 M, bertepatan dengan 14 Jumadil Akhir 1438 H, dinyatakan telah dapat diterima sebagai salah satu syarat untuk memperoleh gelar Sarjana dalam Fakultas Sains dan Teknologi, Jurusan Kimia.

Gowa, 13 Maret 2017 M  
14 Jumadil Akhir 1438 H

### DEWAN PENGUJI

Ketua : Dr. Hj. Wasilah, ST., MT.  
Sekretaris : Sjamsiah, S.Si., M.Si., Ph.D.  
Munaqisy I : Dra. Sitti Chadijah, M.Si.  
Munaqisy II : Asriani Ilyas, S.Si., M.Si.  
Munaqisy II : Dr. Hasyim Haddade, M.Ag.  
Pembimbing I : H. Asri Saleh, ST., M.Si.  
Pembimbing II : Sappewali, S.Pd., M.Si.

(.....)  
(.....)  
(.....)  
(.....)  
(.....)  
(.....)  
(.....)

Diketahui oleh:

Dekan Fakultas Sains dan Teknologi  
UIN Alauddin Makassar,



Prof. Dr. H. Arifuddin, M.Ag.  
NIP. 19691205 199303 1 001

## KATA PENGANTAR

بِسْمِ اللَّهِ الرَّحْمَنِ الرَّحِيمِ

### *Alhamdulillahirrabil aalamin*

Puji syukur penulis haturkan kehadiran Allah SWT, yang senantiasa melimpahkan rahmat dan nikmat berupa kesehatan, kesabaran, dan petunjuk sehingga penulisan ini dapat selesai, dimana penulisan ini merupakan salah satu syarat dalam menyelesaikan studi pada Sains Kimia Fakultas Sains dan Teknologi UIN Alauddin Makassar. Adapun judul skripsi penelitian ini adalah **“Sintesis Nanopartikel Magnetit (Fe<sub>3</sub>O<sub>4</sub>) Secara Elektrolisis dan Uji adsorptivitas ion logam besi (Fe)”**.

Penyusunan skripsi ini, penulis banyak mendapat bantuan, spirit, dan bimbingan dari berbagai pihak. Penulis hanya mampu menyampaikan ucapan terimakasih dan penghargaan yang setulus-tulusnya kepada semua pihak yang tanpa pamrih memberikan bantuan kepada penulis, terutama kedua orang tua tercinta yakni, ayanda Ir. Darsono dan ibunda Dra. Asnida serta suami Muhammad Ishak, S.T, yang dengan sabar memberikan semangat dan senantiasa mendoakan keberhasilan penelitian ini. Oleh karena itu secara mendalam penulis ucapkan banyak terima kasih kepada :

1. Bapak Prof. Dr Musafir Pababari, M.Si selaku rektor UIN Alauddin Makassar.
2. Bapak Prof. Dr. H. Arifuddin, M.Ag selaku dekan Fakultas Sains dan Teknologi UIN Alauddin Makssar.
3. Ibu Sjamsiah, S.Si.,M.Si., Ph.D selaku Ketua Jurusan Sains kimia Fakultas Sains dan Teknologi Universitas Islam Negeri Alauddin Makassar.

4. Bapak H. Asri Saleh, ST., M.Si, selaku dosen pembimbing I.
5. Bapak Sappewali, S.Pd., M.Si dan Ibu Iin Novianty, S.Si.,M.Sc, selaku dosen pembimbing II.
6. Ibu Dra. Sitti Chadijah, M.Si selaku penguji I dan ibu Asriani Ilyas, S.Si., M.Si. serta bapak Dr. Hasyim Hadade, M.Ag selaku penguji agama.
7. Segenap dosen kimia Fakultas Sains dan Teknologi UIN Alauddin Makassar.
8. Segenap kakak laboran di jurusan kimia: kak Andi Nurahma, S.Si, kak Fitriah Aziz, S.Si., S.Pd, kak Ismawanti, S.Si, kak Ahmad Yani, S.Si, kak nuraini, S.Si dan kak Awaluddin, S.Si., M.Si.
9. Sahabt-sahabat tersayang : Ria Rukmana Yamin Hardianti, Nurdiniah NB, Mutmainnah, Muliati dan Uhsnul Fatimah Jabbar.
10. Seluruh teman-teman Jurusan Sains Kimia Fakultas Sains dan Teknologi Universitas Islam Negeri Alauddin Makassar Angkatan 2012.

Semoga bantuan yang penulis terima tersebut mendapat balasan yang lebih besar dari Allah SWT dan semoga skripsi ini dapat bermanfaat bagi penulis dan pembaca. *A a m i i n*

Gowa-Samata,     Maret 2017  
Penulis,

**WINDA WIQRADHANI**  
NIM : 60500112018

## DAFTAR ISI

<b>JUDUL</b> .....	<b>i</b>
<b>PERNYATAAN KEASLIAN SKRIPSI</b> .....	<b>ii</b>
<b>PENGESAHAN SKRIPSI</b> .....	<b>iii</b>
<b>KATA PENGANTAR</b> .....	<b>iv</b>
<b>DAFTAR ISI</b> .....	<b>vi</b>
<b>DAFTAR TABEL</b> .....	<b>viii</b>
<b>DAFTAR GAMBAR</b> .....	<b>ix</b>
<b>ABSTRAK</b> .....	<b>x</b>
<b>BAB 1 PENDAHULUAN</b>	
A. Latar belakang .....	1
B. Rumusan masalah .....	6
C. Tujuan penelitian .....	6
D. Manfaat penelitian .....	6
<b>BAB 2 TINJAUAN PUSTAKA</b>	
A. Nanosains .....	7
B. Elektrokimia .....	11
C. Adsorpsi .....	15
D. Logam besi (Fe) .....	17
E. Pencemaran lingkungan perairan .....	20
F. Instrumen Penelitian .....	23
1. X-Ray Fluorescence (XRF).....	23
2. X-Ray Diffraction (XRD).....	24
3. Transmission Electron Microscopy (TEM).....	25
4. Atomic Absorption Spectrophotometer (AAS).....	26

<b>BAB 3 METODE PENELITIAN</b>	
A. Waktu dan tempat .....	28
B. Alat dan bahan .....	28
C. Tahap penelitian .....	29
D. Prosedur kerja .....	29
<b>BAB 4 HASIL DAN PEMBAHASAN</b>	
A. Hasil penelitian .....	33
B. Pembahasan .....	37
<b>BAB 5 PENUTUP</b>	
A. Kesimpulan .....	52
B. Saran .....	52
<b>KEPUSTAKAAN</b> .....	53
<b>LAMPIRAN-LAMPIRAN</b> .....	57
<b>BIOGRAFI</b>	



## DAFTAR TABEL

Tabel 2.1. Respon magnetik fasa oksida .....	10
Tabel 4.1. Bobot hasil elektroplating batang besi .....	33
Tabel 4.2. Pengaruh tegangan terhadap sintesis nanopartikel .....	34
Tabel 4.3. Hasil analisis XRD nanopartikel magnetit tegangan 10 volt .....	34
Tabel 4.4. Hasil analisis XRD nanopartikel magnetit tegangan 15 volt .....	34
Tabel 4.5. Diameter partikel pada variasi tegangan .....	35
Tabel 4.6. Hasil analisis TEM nanopartikel magnetit pada variasi tegangan....	35
Tabel 4.7. Adsorptivitas nanopartikel magnetit terhadap variasi waktu kontak .....	35
Tabel 4.8. Adsorptivitas nanopartiekl magnetit terhadap variasi konsentrasi .....	36

## DAFTAR GAMBAR

Gambar 2.1. Dua pendekatan utama sintesis nanopartikel: top-down dan bottom-up .....	9
Gambar 2.2. Bentuk Kristal $\text{Fe}_3\text{O}_4$ .....	10
Gambar 2.3. Skema sel elektrolisis .....	14
Gambar 4.1. Grafik hubungan antara waktu kontak dan efisiensi penyerapan .....	48
Gambar 4.2. Grafik hubungan antara konsentrasi dan efisiensi penyerapan .....	50



## ABSTRAK

Nama : Winda Wiqradhani

NIM : 60500112018

Judul skripsi : Sintesis nanopartikel magnetit ( $\text{Fe}_3\text{O}_4$ ) secara elektrolisis dan uji adsorptivitas logam besi (Fe)

---

Pencemaran logam pada lingkungan perairan merupakan salah satu faktor yang mempengaruhi kualitas kehidupan makhluk hidup disekitarnya. Oleh karena itu, perlu adanya penanggulangan secara tepat menggunakan metode adsorpsi dengan media adsorben berbasis nano. Salah satu jenis nanopartikel yang digunakan, yaitu nanopartikel magnetit ( $\text{Fe}_3\text{O}_4$ ) yang memiliki respon magnetik yang sangat baik. Penelitian ini bertujuan untuk mengetahui karakteristik dan adsorptivitas nanopartikel magnetit terhadap ion logam Fe. Sintesis nanopartikel magnetit dilakukan dengan cara elektrolisis yang berbasis elektro-oksidasi besi dalam air demineralisasi pH 10 pada voltase 5, 10 dan 15 volt. Mangetit hasil sintesis dikarakteristik menggunakan XRD dan TEM untuk mengetahui ukuran dan morfologi partikel. Berdasarkan analisa XRD dan TEM menunjukkan nanopartikel mangetit yang dihasilkan dapat mencapai ukuran partikel paling kecil pada voltase 10 volt, dengan diameter 35,24 nm serta permukaannya berbentuk sferik. Nanopartikel magnetit hasil sintesis mampu menyerap ion logam Fe secara maksimal pada waktu 1 jam dengan konsetrasi awal 150 ppm sebesar 98,95%.

Kata kunci : Nanopartikel, Magnetit, Elektolisis, Adsorpsi

## ABSTRAK

Nama : Winda Wiqradhani

NIM : 60500112018

Judul skripsi : Synthesis of Magnetite ( $\text{Fe}_3\text{O}_4$ ) Nanoparticle By Electrolysis Method  
And Adsorptivity Test Against Ferrous (Fe) Metal

---

Metal pollution in water environment is one of the factor that influences the quality of life of the living things around it. Because of that, there must be a right prevention. Adsorption method with nano-based adsorbent media is the method that can be used. One the nanoparticle that used is magnetite nanoparticle ( $\text{Fe}_3\text{O}_4$ ) which have a very good magnetic responses. This research is supposed to know the characteristic and magnetite nanoparticle adsorptivitas to metal ion Fe. Magnetite nanoparticle synthesis was done with electrolysis iron based on electro-oxidation in demineralization water pH 10 at voltage 5, 10, and 15 volt. Magnetite synthesis result was characterized using XRD and TEM to get to know the size and particle morphology. XRD and TEM analysis shows magnetite nanoparticle that was produced can reach the smallest particle size at voltage 10 volt, with diameter 35,24 nm and the surface in spherical shape. Synthetis result of magnetite nanoparticle can maximally absorb the metal ion Fe in 1 hour with start concentration 150 ppm in the amount of 98,95%.

Key words: Nanoparticle, Magnetite, Electrolysis, Adsorption.

## **BAB I**

### **PENDAHULUAN**

#### ***A. Latar Belakang***

Pencemaran lingkungan merupakan salah satu faktor yang mempengaruhi kualitas kehidupan makhluk di sekitarnya sehingga masalah pencemaran lingkungan ini menjadi salah satu hal yang paling kritis dimasyarakat. Pencemaran lingkungan sering pula dikaitkan dengan keberadaan industri yang semakin meningkat dan buangan sampah yang tidak diolah dengan baik. Akibatnya jika bahan-bahan terlepas ke lingkungan tanpa melalui proses pengolahan lebih lanjut dapat mencemari lingkungan, baik lingkungan tanah, udara maupun perairan. Diantara berbagai jenis pencemaran yang terjadi, pencemaran lingkungan perairanlah yang paling menonjol di masyarakat, karena air menjadi bahan utama dalam kehidupan, baik untuk manusia sendiri maupun untuk mahluk lainnya.

Menurut Peraturan Pemerintah RI No. 01 Tahun 2010 tentang pencemaran air pada pasal 1 ayat 11 bahwa pencemaran air adalah masuk atau dimasukkannya makhluk hidup, zat, energi atau komponen lain ke dalam air oleh kegiatan manusia sehingga melampaui baku mutu air limbah yang telah ditetapkan (Adipura, 2015). Salah satu bentuk pencemaran lingkungan perairan adalah adanya limbah logam berat pada perairan.

Salah satu bahan logam yang jika terdapat lebih dari yang ditentukan dapat mencemari lingkungan perairan, yaitu logam besi (Fe). Besi merupakan logam yang sering ditemui keberadaannya secara alamiah di bebatuan, tanah, dan air. Namun tidak jarang logam ini berasal dari aktivitas manusia, antara lain limbah baterai, kaleng susu, korek api, pelapis, dan lainnya. Besi pada dasarnya diperlukan oleh tubuh dengan standar konsentrasi maksimal dalam air baku yang diperbolehkan adalah sebesar 0,3 mg/l. kandungan besi yang terlalu tinggi di dalam air baku dapat berakibat buruk terhadap kesehatan dan juga dapat merusak sistem pengairan termasuk didalamnya perpipaan, yaitu menyebabkan korosi dalam pipa (Adipura, 2015). Dimana dalam Al-Qur'an sudah diperintahkan oleh Allah swt untuk tidak mencemari lingkungan atau membuat kerusakan di muka bumi di dalam Q.S Ar-Rum (30) : 41

ظَهَرَ الْفَسَادُ فِي الْبَرِّ وَالْبَحْرِ بِمَا كَسَبَتْ أَيْدِي النَّاسِ لِيُذِيقَهُمْ بَعْضَ  
الَّذِي عَمِلُوا لَعَلَّهُمْ يَرْجِعُونَ ﴿٤١﴾

Terjemahnya :

“Telah nampak kerusakan di darat dan di laut disebabkan karena perbuatan tangan manusia, supaya Allah merasakan kepada mereka sebagian dari (akibat) perbuatan mereka, agar mereka kembali (ke jalan yang benar)” (Kementrian agama).

Menurut M. Quraish Shihab (2009), dalam kitab Al-Misbah, ayat ini menyebutkan *darat dan laut* sebagai tempat terjadinya *fasad* itu, dimana *fasad* berarti keluarnya sesuatu dari keseimbangan baik sedikit maupun banyak, sehingga dapat berarti daratan dan lautan menjadi tempat kerusakan, misalnya dengan terjadinya pembunuhan dan perampokan di kedua tempat tersebut dan dapat pula diartikan bahwa

darat dan laut itu sendiri yang telah mengalami kerusakan, ketidakseimbangan serta kurangnya dalam segi manfaat. Laut yang sudah tercemari sehingga ikan banyak yang mati dan hasil laut akan berkurang, daratan semakin panas sehingga terjadi kemarau yang panjang sehingga menyebabkan keseimbangan lingkungan menjadi kacau, sementara ulama kontemporer memahami ayat ini sebagai isyarat tentang kerusakan lingkungan.

Berdasarkan penjelasan ayat di atas, memberikan gambaran tentang kerusakan yang terjadi di lingkungan sekitar akibat dari aktivitas manusia yang kurang bertanggung jawab terhadap lingkungannya sendiri. Untuk itu, perlu dilakukan perbaikan dan pengolahan terhadap pencemaran lingkungan salah satu cara yaitu mengurangi kandungan logam yang berbahaya bagi lingkungan dan manusia itu sendiri.

Upaya yang dapat dilakukan untuk mengurangi kandungan logam yang berlebih dalam suatu ekosistem lingkungan perairan, salah satunya dengan metode adsorpsi. Adsorpsi adalah suatu proses yang terjadi ketika suatu fluida terikat pada suatu padatan dan akhirnya membentuk lapisan tipis pada permukaan tersebut (Larasati dkk, 2013). Dalam proses adsorpsi dibutuhkan sebuah zat yang dapat menyerap partikel fluida atau biasa disebut adsorben. Adsorben adalah suatu zat yang berpori, sehingga memiliki kemampuan menyerap zat tertentu dari suatu fluida. Ada beberapa media adsorben dalam penyerapan logam pencemar, seperti karbon aktif, zeolit dan silika gel. Terkait hal tersebut, telah dikembangkan sebuah media adsorben baru, yakni sebuah nanopartikel.

Nanopartikel merupakan pengembangan ilmu lebih detail dari nanoteknologi. Nanopartikel memiliki aplikasi yang cukup luas dalam berbagai bidang, seperti bidang industri, farmasi, medis, lingkungan dan lain-lain. Terkhusus untuk dalam bidang lingkungan, nanopartikel dapat digunakan untuk penanggulangan pencemaran logam berat. Hal ini terkait dengan adsorben yang berbasis ukuran nanometer. Salah satu jenis nanopartikel yang menjadi fokus pembahasan ini, yaitu nanopartikel magnetit ( $\text{Fe}_3\text{O}_4$ ). Pemanfaatan nanopartikel magnetit lebih meningkat dikarenakan memiliki biokompatibilitas yang baik, sifat superparamagnetik yang kuat dan toksisitas rendah serta proses sintesis yang lebih mudah (Fajaroh dkk, 2011). Sifat magnetiknya sebagian besar dipengaruhi oleh morfologi, ukuran dan karakteristik fisika dan partikel tunggal. Partikel dengan ukuran kurang dari 30 nm, magnetit menunjukkan sifat-sifat superparamagnetik. Selain itu luas permukaan partikel yang besar juga menjadi salah satu keunggulan nanopartikel magnetit sehingga memiliki kapasitas besar untuk mengabsorpsi ion logam berat (Riyanto, 2012).

Pemanfaatan nanopartikel magnetit sebagai adsorben ion logam berat dapat dilihat pada beberapa penelitian sebelumnya, yaitu penelitian Mahmuda dkk (2014), menyatakan bahwa nanopartikel magnetit yang di sintesis dengan metode kopresipitasi dapat digunakan sebagai adsorben yang efektif untuk menurunkan kadar ion logam tembaga (Cu), mangan (Mn) dan Nikel (Ni) dengan persentase penurunan masing-masing sebesar 59,79% untuk Cu, 69,83% untuk Ni dan 44,53% untuk Mn.

Penelitian Putra, dkk (2014), juga menjelaskan pemanfaatan nanopartikel magnetit sebagai adsorben dalam penurunan kadar logam besi (Fe) pada limbah batik

dengan sistem purifikasi, adapun hasil penelitian menunjukkan kemampuan magnetit mengabsorpsi logam Fe sebesar 96,84%. Berdasarkan penelitian tersebut, perlu adanya modifikasi dari metode sintesis nanopartikel yang lebih inovatif dimana penelitian tersebut masih menggunakan metode konvensional. Ada beberapa metode inovatif dalam sintesis nanopartikel yang dapat dikembangkan dalam memaksimalkan fungsi dari nanopartikel tersebut, seperti metode *sol-gel*, hidrotermal dan elektrokimia. Metode *sol-gel* lebih unggul dalam hal mengontrol ukuran dan komposisi kimiawi dari nanopartikel magnetit yang dihasilkan, namun di sisi lain metode *sol-gel* biasanya menggunakan reaktan alkoksida yang harganya relatif mahal, suhu kalsinasi tinggi, dan waktu sintesis yang panjang (Ardiansyah, 2015). Demikian halnya dengan cara hidrotermal yang juga membutuhkan suhu tinggi dan waktu yang lama untuk mencapai produk akhir. Metode ini seringkali menggunakan surfaktan untuk mencegah agregasi partikel, namun kombinasi antara surfaktan dan magnetit dapat berpotensi mengganggu aplikasi magnetit dalam penerapannya (Astuti, 2012). Sedangkan, untuk metode elektrokimia memiliki keunggulan yang lebih dari metode yang ada, yakni berprinsip sederhana, efisien, ramah lingkungan, dapat dilakukan dalam suhu kamar dan dapat di kontrol (seperti ukuran partikel yang dapat di kontrol melalui rapat arus dan jarak kedua elektroda) (Fajaroh dkk, 2010).

Berdasarkan latar belakang di atas, maka dilakukan penelitian sintesis nanopartikel magnetit ( $\text{Fe}_3\text{O}_4$ ) secara elektrolisis dan uji adsorptivitas ion logam besi (Fe).

**B. Rumusan Masalah**

Rumusan masalah dari penelitian ini, yaitu :

1. Bagaimana karakteristik nanopartikel magnetit ( $\text{Fe}_3\text{O}_4$ ) yang diperoleh dari pengukuran *X-Ray Diffraction* (XRD) dan *Transmission Electron Microscopy* (TEM) ?
2. Berapa besar efektifitas penurunan ion logam berat besi (Fe) yang diadsorpsi dengan nanopartikel magnetit ( $\text{Fe}_3\text{O}_4$ ) ?

**C. Tujuan Penelitian**

Tujuan dari penelitian ini, yaitu :

1. Untuk mengetahui karakteristik nanopartikel magnetit ( $\text{Fe}_3\text{O}_4$ ) yang diperoleh dari pengukuran *X-Ray Diffraction* (XRD) dan *Transmission Electron Microscopy* (TEM).
2. Untuk mengetahui efektifitas penurunan ion logam berat besi (Fe) yang diadsorpsi dengan nanopartikel magnetit ( $\text{Fe}_3\text{O}_4$ ).

**D. Manfaat Penelitian**

Manfaat dari penelitian ini, yakni :

1. Dapat memberikan informasi kepada industri dan masyarakat tentang alternatif pengolahan limbah dengan menggunakan nanopartikel magnetit ( $\text{Fe}_3\text{O}_4$ ) .
2. Sebagai sumber ilmiah pada peneliti selanjutnya tentang nanopartikel magnetit ( $\text{Fe}_3\text{O}_4$ ) dalam mengadsorpsi ion logam besi (Fe).

## BAB II

### TINJAUAN PUSTAKA

#### A. Nanosains

##### 1. Nanopartikel

Salah satu ilmu pengetahuan yang sedang berkembang pesat yaitu nanosains. Nanosains adalah ilmu yang mempelajari berbagai gejala-gejala alam yang berukuran nanometer, dimana satu nanometer sama dengan  $10^{-9}$  meter. Nanosains memiliki aplikasi dalam bentuk nanoteknologi yang dapat diterapkan dalam kehidupan sehari-hari. Sebagaimana firman Allah swt yang menjelaskan tentang sesuatu yang berukuran kecil dalam Q.S. Yunus (10): 61,

وَمَا تَكُونُ فِي شَأْنٍ وَمَا تَتْلُوا مِنْهُ مِنْ قُرْآنٍ وَلَا تَعْمَلُونَ مِنْ عَمَلٍ إِلَّا كُنَّا عَلَيْكُمْ شُهُودًا إِذْ تُفِيضُونَ فِيهِ وَمَا يَعْزُبُ عَنْ رَبِّكَ مِنْ مِثْقَالِ ذَرَّةٍ فِي الْأَرْضِ وَلَا فِي السَّمَاءِ وَلَا أَصْغَرَ مِنْ ذَلِكَ وَلَا أَكْبَرَ إِلَّا فِي كِتَابٍ مُبِينٍ ﴿٦١﴾

Terjemahnya:

“kamu tidak berada dalam suatu Keadaan dan tidak membaca suatu ayat dari Al-Quran dan kamu tidak mengerjakan suatu pekerjaan, melainkan Kami menjadi saksi atasmu di waktu kamu melakukannya. tidak luput dari pengetahuan Tuhanmu biarpun sebesar zarah (atom) di bumi ataupun di langit. tidak ada yang lebih kecil dan tidak (pula) yang lebih besar dari itu, melainkan (semua tercatat) dalam kitab yang nyata (Lauh Mahfuzh)” (Kementrian Agama).

Menurut M. Quraish Shiahb (2009), dalam ayat ini lebih menekankan pada kata *dzarrah* yang lebih dipahami sebagai *semut yang sangat kecil* bahkan *kepala semut* atau *debu* yang berterbangan hanya terlihat celah cahaya matahari yang menjadi tolak

ukur dalam penciptaan Allah swt, dimana kecil sekalipun (atom) tidak ada yang tidak diketahui oleh Allah dan tidak ada satupun yang luput dari penglihatannya. Sesungguhnya ciptaan-Nya tidak ada yang sia-sia.

Nanopartikel dapat didefinisikan sebagai partikel dari fungsi sistem pada tingkat molekuler yang dijadikan sebuah material dengan sifat baru dalam skala nano (Riwayati, 2007). Berdasarkan ukurannya yang termasuk sangat kecil, nanopartikel dapat dimanfaatkan dalam berbagai bidang, seperti bidang kesehatan, bidang teknologi informasi, produksi dan penyimpanan energi, dalam ilmu alam, bahan pangan dan lingkungan. Seperti yang telah dijelaskan Allah swt dalam Al-Qur'an bahwa segala penciptaan sesuatu di muka bumi ini tidak ada sia-sia dan semuanya ada hikmah dan manfaatnya. Adapun firman Allah swt yang menjelaskan hal tersebut yaitu Q.S. Shaad (38): 27

وَمَا خَلَقْنَا السَّمَاءَ وَالْأَرْضَ وَمَا بَيْنَهُمَا بَطْلًا ۚ ذَٰلِكَ ظَنُّ الَّذِينَ كَفَرُوا ۚ  
فَوَيْلٌ لِّلَّذِينَ كَفَرُوا مِنَ النَّارِ ﴿٢٧﴾

Terjemahnya:

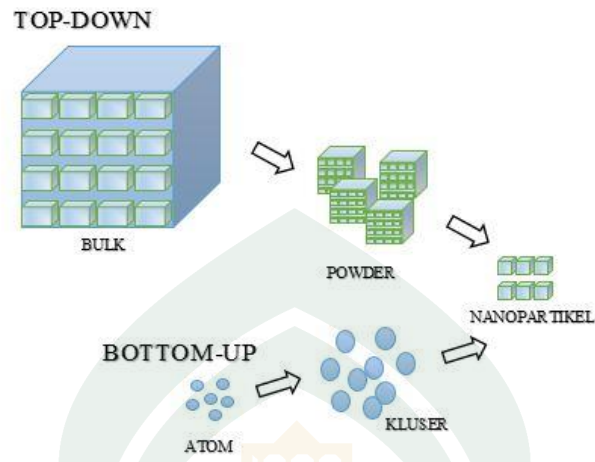
“Dan Kami tidak menciptakan langit dan bumi dan apa yang ada antara keduanya tanpa hikmah. Yang demikian itu adalah anggapan orang-orang kafir, Maka celakalah orang-orang kafir itu karena mereka akan masuk neraka”(Kementrian Agama).

Berdasarkan ayat di atas, M. Quraish Shihab (2009) dalam kitab Al-Misbah menyatakan bahwa Allah swt, menciptakan langit dan bumi juga segala yang ada diantara keduanya dengan cara aturan yang demikian rapi, indah serta harmonis. Hal ini menunjukkan bahwa Dia tidak bermain-main dalam penciptaannya secara sia-sia

tanpa arah dan tujuan yang benar. Sehingga segala sesuatu ciptaan Allah dimuka bumi ini dengan bentuk yang beragam pasti memiliki hikmah atau manfaat yang dapat berguna bagi kehidupan di muka bumi ini.

Berdasarkan bentuk nanopartikel yang dapat berupa bola, batang, tabung serat ataupun tidak memiliki bentuk yang beraturan (Elzey, 2010), nanopartikel telah menjadi material menarik yang dikembangkan karena sifatnya yang terkenal dan sangat potensial dalam aplikasinya dalam berbagai bidang, seperti dalam bidang medis digunakan sebagai bagian alat terapi kesehatan yang membutuhkan sensor magnetik, terapi hyperthermia, *Magnetic Resonance Imageing* (MRI). Dalam bidang industri digunakan sebagai katalis, sensor, penyimpan data dalam bentuk CD atau hard disk, pigmen warna (Rahmadani, 2011).

Seiring dengan perkembangan ilmu pengetahuan, sintesis nanopartikel dapat dibagi menjadi dua pendekatan besar, yakni : cara pertama adalah memecah partikel berukuran besar menjadi partikel berukuran nanometer. Pendekatan ini disebut pendekatan *top-down*. Pendekatan kedua adalah memulai dari atom-atom atau molekul-molekul atau kluster-kluster yang membentuk partikel berukuran nanometer yang dikehendaki. Pendekatan ini disebut *bottom-up*. Pendekatan tersebut dapat digambarkan, seperti pada gambar 2.1.



**Gambar 2.1. Dua pendekatan utama sintesis nanopartikel:  
top-down dan bottom-up**

(Sumber: Abdullah dkk, 2008).

Nanopartikel dapat memiliki sifat atau fungsi yang berbeda dari material sejenis dalam ukuran besar. Hal utama yang membuat nanopartikel berbeda dengan material sejenis dalam ukuran besar yaitu: pertama karena ukurannya yang kecil, nanopartikel memiliki nilai perbandingan antara luas permukaan dan volume yang lebih besar jika dibandingkan dengan partikel sejenis dalam ukuran besar. Ini membuat nanopartikel bersifat lebih reaktif. Reaktivitas material ditentukan oleh atom-atom di permukaan, karena pada atom-atom tersebut yang bersentuhan langsung dengan material lain dan yang kedua ketika ukuran partikel menuju orde nanometer (Abdullah, dkk, 2009).

## **2. Nanopartikel Magnetit ( $\text{Fe}_3\text{O}_4$ )**

Salah satu jenis nanopartikel yang sedang dikembangkan oleh para ahli, yaitu nanopartikel magnetit. Magnetit ( $\text{Fe}_3\text{O}_4$ ) merupakan salah satu bijih besi yang

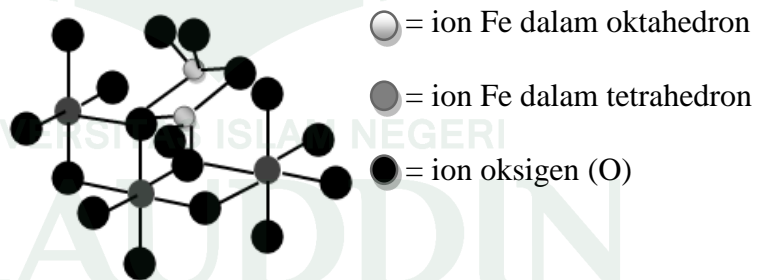
dikenal di samping Hematit ( $\text{Fe}_2\text{O}_3$ ), Limonit ( $\text{FeO}(\text{OH})$ ) dan Siderit ( $\text{FeCO}_3$ ). Respon magnetik fasa-fasa oksida tersebut dicantumkan dalam tabel. 2.1.

**Tabel 2.1.** Respon Magnetik Fasa Oksida

No	Fasa Fe / Karakterisasi	Respon Magnetik
1.	FeO	Antiferomagnetik
2.	$\alpha\text{-Fe}_2\text{O}_3$	Ferrimagnetik lemah
3.	$\gamma\text{-Fe}_2\text{O}_3$	Ferrimagnetik
4.	$\text{Fe}_3\text{O}_4$	Ferrimagnetik

Sumber : (Haris, 2002)

Magnetit memiliki bangun spinel terbalik, yaitu setengah jumlah ion  $\text{Fe}^{3+}$  menempati rongga tetrahedron dan setengah yang lain menempati rongga oktahedron, sedangkan semua ion  $\text{Fe}^{2+}$  menempati rongga oktahedron dari suatu tatanan kubus rapat muka (fcc) ion  $\text{O}^{2-}$ .



**Gambar 2.2.** Bentuk kristal  $\text{Fe}_3\text{O}_4$

(Sumber: Sugiyarto, 2012).

Magnetit memiliki sifat magnetik yang sangat baik, yakni dapat merespon medan magnet luar sehingga memiliki hubungan yang kuat dengan medan magnetnya sendiri (Jonal, 2014). Selain itu, magnetit juga mempunyai sifat khas yaitu keras, tahan

terhadap panas dan zat kimia, mempunyai tahanan jenis listrik yang tinggi, sehingga banyak digunakan dalam bidang elektronika dan dapat termagnetisasi secara spontan pada temperatur curie dan bersifat paramagnetik untuk temperatur di atas temperatur curie (Sholiha, 2010).

Aplikasi bahan magnetit memiliki kegunaan yang cukup luas, salah satunya dapat digunakan untuk mendekontaminasi air tercemar secara langsung maupun tidak langsung. Nanopartikel magnetit ini secara simultan dapat berfungsi sebagai penyerap (adsorbent) ataupun sebagai bahan perantara untuk memecah kontaminan organik menjadi elemen yang tidak beracun dengan membentuk suatu molekul karbon dan logam-logam berat dapat teraglomerasi dan menempel dipermukaan tanah. Dalam proses secara langsung, nanopartikel ini dalam bentuk cairan kental di injeksikan secara langsung pada reservoir air yang telah terkontaminasi sedangkan dengan cara tidak langsung dapat menggunakan sebuah membran (Ridwan dan Azwar, 2007).

### **B. Elektrokimia**

Elektrokimia merupakan cabang ilmu kimia yang membahas tentang reaksi-reaksi kimia yang terjadi pada antarmuka elektroda dan elektrolit, dimana proses tersebut terjadi transfer elektron antara material elektroda dengan spesies-spesies dalam material elektrolit (Rahmawati, 2013).

Metode elektrokimia digunakan untuk menganalisis suatu sampel dengan cara mengukur potensial, arus, hambatan dan menghubungkan ketiganya dengan suatu analit. Adapun hasil yang didapatkan pada proses tersebut berasal dari reaksi reduksi

dan oksidasi yang terjadi pada permukaan elektroda. Beberapa faktor yang mempengaruhi pengukuran, yaitu sifat elektroda, transfer massa elektron, besaran listrik, elektrolit dan faktor eksternal seperti suhu, tekanan dan waktu (Sidiq, 2013).

Berdasarkan prinsip kerja dari elektrokimia, maka proses elektrokimia membutuhkan tiga hal penting, yakni elektroda (anoda dan katoda) serta larutan elektrolit. Elektroda adalah konduktor yang digunakan untuk bersentuhan dengan media non-logam dari sebuah sirkuit (misal semikonduktor dan elektrolit). Menurut (Riyanto, 2013) elektroda terbagi menjadi dua, yakni :

- a. Anoda adalah elektroda tempat berlangsungnya reaksi oksidasi, sehingga akan terjadi pelepasan elektron selama reaksi berlangsung.

Reaksi :



- b. Katoda adalah elektroda tempat berlangsungnya reaksi reduksi zat kimia, sehingga terjadi penangkapan elektron pada reaksi.

Reaksi :



Selain elektroda, komponen penting lainnya, yaitu larutan elektrolit. Larutan elektrolit adalah tempat terjadinya reaksi reduksi-oksidasi. Larutan elektrolit merupakan larutan yang mempunyai sifat menghantarkan listrik. Elektrolit dapat berupa larutan asam, basa dan larutan garam. Larutan elektrolit mempunyai peranan penting elektrokimia karena larutan ini dapat menjadikan kontak listrik antara anoda

dan katoda (Sidiq, 2013). Elektrolit terbagi menjadi dua yaitu elektrolit kuat dan elektrolit lemah. Perbedaannya terletak pada kemampuan untuk menghantarkan arus listrik. Pada elektrolit kuat senyawa atau molekul yang dilarutkan dengan air akan terionisasi sempurna sedangkan pada elektrolit lemah yang terionisasi hanya sebagian apabila dilarutkan dalam air atau pelarut lain. Elektrolit dapat berupa senyawa garam, asam atau amfoter. Elektrolit kuat identik dengan asam, basa dan garam. Elektrolit merupakan senyawa yang berikatan ion dan kovalen polar. Sebagian besar senyawa yang berikatan ion merupakan elektrolit sebagai contoh garam dapur atau NaCl (Riyanto, 2013).

Secara umum, terdapat dua jenis sel elektrokimia, yakni : sel galvanik dan sel elektrolisis. Sel galvanik adalah sel dimana terjadi reaksi reduksi-oksidasi yang menghasilkan energi listrik. Contohnya seperti baterai, aki dan sel bahan bakar. Pada sel galvanik, memiliki beberapa syarat dalam penerapannya, yakni reaksi redoks terjadi spontan, hasil reaksi menghasilkan energi dan  $G^{\circ} < 0$  serta  $E^{\circ}_{sel}$  adalah positif (Rahmawati, 2013). Pada sel galvanik anoda bermuatan negatif yang diakibatkan oleh reaksi kimia spontan dan katoda bermuatan positif bila dihubungkan dengan anoda, dimana ion positif mengalir ke elektroda ini untuk direduksi oleh elektron dari anoda (Dogra, 2013).

Sel elektrolisis adalah sel dimana energi listrik menghasilkan reaksi kimia yang tidak spontan, atau reaksi kimia yang memiliki potensial sel negatif. Contohnya seperti elektrodaposisi (teknik pelapisan logam), elektroanalisis (analisis polarografi, voltametri dan lain-lain) dan elektrosintesis (Sunarya, 2012). Pada sel elektrolisis anoda bermuatan

positif dan katoda elektrolisis bermuatan negatif, dimana ion kation akan mengalir ke elektroda ini untuk direduksi. Energi listrik diperlukan untuk terjadinya reaksi kimia dalam sel elektrolisis, sehingga dalam sel ini tidak diperlukan jembatan garam (Dogra, 2013) contoh skema sel elektrolisis dapat dilihat pada gambar 2.3.



**Gambar 2.4. Skema sel elektrolisis**

Reaksi yang terjadi pada sel elektrolisis dengan elektroda aktif biasanya terjadi di anoda. Anoda mengalami reaksi oksidasi dan diikuti reaksi reduksi di katoda. Reaksi elektrolisis dalam larutan elektrolit berlangsung lebih kompleks, dimana zat yang bereaksi belum tentu kation atau anionnya. Salah satu aplikasi sel elektrolisis yang sangat luas penggunaannya dimasyarakat, yaitu proses penyepuhan logam (elektroplating). Elektroplating adalah salah satu aplikasi dari sel elektrolisis, yang merupakan teknik untuk melapisi suatu logam dengan logam lain dengan tujuan tertentu. Contoh, tembaga yang dilapisi dengan emas atau perak agar tampak lebih berharga dan logam besi yang mudah berkarat dapat dilapisi dengan logam lain yang tahan karat seperti nikel atau krom (Sunarya, 2012).

Prinsip dasar dari elektroplating ini, yakni yang berperan sebagai katoda adalah benda yang akan dilapisi dan untuk anoda terdiri dari anoda karbon (anoda larut) dan

anoda tetap (anoda inert). Anoda karbon terbuat dari logam yang akan diendapkan dan anoda tetap hanya sebagai penghantar listrik. Kedua elektroda tersebut dimasukkan kedalam larutan elektrolit dan dialirkan oleh arus listrik, sehingga terjadi migrasi ion positif ke katoda dan ion negatif ke anoda. Jika ion positif mencapai katoda maka akan direduksi oleh elektron untuk membentuk logam, sehingga atom logam akan melekat pada permukaan katoda, yang dapat dilihat dari bertambahnya ketebalan pada katoda (Riyanto,2013).

### C. Adsorpsi

Adsorpsi adalah salah satu metode efektif dalam penanggulangan pencemaran lingkungan, hal ini di karenakan metode ini bergantung pada kemampuan permukaan adsorben untuk menarik molekul-molekul gas, uap atau cairan (Nurdila dkk, 2015). Pada proses adsorpsi, molekul-molekul pada permukaan zat padat atau zat cair, akan mengalami gaya elektrostatis atau gaya tarik antar molekul pada permukaan zat padat. Penyerapan bersifat selektif, yang diserap hanya zat terlarut atau pelarut. Bila dalam larutan terdapat dua jenis zat atau lebih, maka hanya satu zat yang akan diserap lebih kuat dari yang lain. Adsorben padat yang baik yaitu memiliki porositas tinggi, permukaannya sangat luas sehingga terjadi pada banyak tempat (Sukardjo, 2002).

Adsorpsi diklasifikasikan dalam dua bagian, yakni adsorpsi fisika dan adsorpsi kimia. Adsorpsi fisika bisa terjadi jika adanya gaya Van Der Waals dan dapat terjadi secara bolak-balik (*reversible*), sebagai contoh adsorpsi fisika yaitu pada adsorpsi solut oleh karbon aktif. Sedangkan untuk adsorpsi kimia, terjadi jika adanya reaksi kimia di

permukaan padatan antara solut dengan padatannya dan terjadi secara tidak dapat balik (*irreversible*) (Budiyono dan Siswo Sumardiono, 2013).

Proses adsorpsi terjadi pada permukaan pori-pori dalam butir adsorben sehingga untuk menyerap logam dalam cairan akan mengalami proses seperti, perpindahan massa logam dari cairan ke permukaan butir melalui lapisan film, difusi dari permukaan butir ke dalam butir melalui pori, perpindahan massa dari cairan dalam pori ke dinding pori dan adsorpsi pada dinding pori. Perpindahan massa dari cairan dalam pori ke dinding pori umumnya berlangsung sangat cepat sehingga tidak mengontrol. Proses yang mengontrol kecepatan adsorpsi adalah perpindahan massa logam dari cairan ke permukaan butir melalui lapisan film (Kwartiningsih, dkk, 2010).

Adsorpsi dalam prosesnya dipengaruhi oleh beberapa faktor, yakni: konsentrasi, luas permukaan, suhu, ukuran partikel dan pH. Untuk konsentrasi, proses adsorpsi sangat sesuai untuk memisahkan bahan dengan konsentrasi yang rendah dari campuran yang mengandung bahan lain dengan konsentrasi tinggi (Asip dkk, 2008). Faktor luas permukaan dan ukuran partikel saling berkaitan, menyatakan semakin luas permukaan pada adsorben maka proses adsorpsi akan semakin baik. Hal ini dapat terjadi tergantung pada banyaknya tumbukan yang terjadi antara partikel-partikel adsorbat dan adsorben serta semakin kecil ukuran partikel yang diadsorpsi maka proses adsorpsinya akan berlangsung lebih cepat (Lestari, 2013). Proses adsorpsi juga dipengaruhi oleh suhu, karena ketika molekul-molekul adsorbat pada permukaan adsorben terjadi pembebasan sejumlah energi (panas), sehingga terjadi peristiwa eksotermis. Menurut azas *Le Chatelier* pada proses fisika, berkurangnya temperatur

akan menambah jumlah adsorbat yang teradsorpsi dan begitu pula sebaliknya. Adsorpsi substansial, biasanya terjadi pada temperatur di bawah titik didih adsorbat (biasanya di bawa 50°C) (Zulfa, 2011).

#### **D. Logam besi (Fe)**

Besi (Fe) merupakan logam transisi yang memiliki nomor atom 26 dengan bilangan oksidasi adalah +3 dan +2. Identifikasi logam besi pada sistem periodik unsur dapat dilihat dari konfigurasi elektronnya yang memiliki subkulit d, sehingga dapat diketahui bahwa logam besi berada pada golongan VIII b dengan periode 4. Besi memiliki berat atom 55,845 g/mol, titik leleh 1,538° C dan titik didih 2.861° C. Besi menempati urutan kesepuluh besar sebagai unsur di bumi dengan kadar 5-5,6% dari kerak bumi dan menyusun 35% dari masa bumi. Konsentrasi tertinggi terdapat pada lapisan dalam dari inti bumi dan sejumlah kecil terdapat di lapisan terluar kerak bumi (Widowati dkk, 2008).

Besi adalah logam dengan penampakan putih silver mengkilap. Ia punya sifat elastis dan lunak. Elastis berarti logam tersebut mampu ditarik namun tidak putus. Selain itu besi mempunyai sifat logam sebagaimana semua unsur transisi lainnya. Sifat logam ini dipengaruhi oleh kemudahan unsur tersebut untuk melepas elektron valensi. Selain itu, keberadaan elektron pada blok d yang belum penuh menyebabkan unsur besi memiliki banyak elektron tidak berpasangan. Elektron-elektron tidak berpasangan tersebut akan bergerak bebas pada kisi kristalnya sehingga membentuk ikatan logam yang lebih kuat dibandingkan dengan unsur golongan utama. Adanya ikatan logam ini

menyebabkan titik leleh dan titik didih serta densitas unsur besi cukup besar sehingga bersifat keras dan kuat. Selain itu, karena pergerakan elektron- elektron yang tidak berpasangan pada kisi kristal juga menyebabkan logam besi bersifat konduktor atau penghantar panas yang baik. Apabila logam besi diberikan kalor atau panas, energi kinetik elektron akan meningkat. Dengan demikian, elektron memindahkan energinya ke elektron yang lain sehingga panas merambat ke seluruh bagian logam besi tersebut (Sugiarto dan Retno D suyanti, 2010).

Menurut Widowati, dkk (2008), besi memiliki keistimewaan, antara lain: (1) ion logam Fe sangat kuat dibandingkan kayu ataupun kuprum (Cu), (2) Fe lebih mudah dibengkokkan dan dibentuk menjadi berbagai jenis perabot dengan pemanasan, (3) Fe bersifat tahan panas, sehingga bisa digunakan sebagai bahan pembuatan mesin, (4) Fe dapat diberi magnet sehingga bisa digunakan dalam pembuatan generator dan motor elektrik dan (5) Fe mudah dimurnikan untuk kemudian digunakan pada berbagai alat.

Keberadaan dan kegunaan besi di muka bumi ini dapat lebih dijelaskan dalam firman Allah swt pada Q.S. Al-Hadid (57) : 25

لَقَدْ أَرْسَلْنَا رُسُلَنَا بِالْبَيِّنَاتِ وَأَنْزَلْنَا مَعَهُمُ الْكِتَابَ وَالْمِيزَانَ لِيَقُومَ  
الْأَنَاسُ بِالْقِسْطِ وَأَنْزَلْنَا الْحَدِيدَ فِيهِ بَأْسٌ شَدِيدٌ وَمَنْفَعٌ لِلنَّاسِ وَلِيَعْلَمَ  
اللَّهُ مَن يَنْصُرُهُ وَرُسُلَهُ بِالْغَيْبِ إِنَّ اللَّهَ قَوِيٌّ عَزِيزٌ ﴿٢٥﴾

Terjemahnya:

“Sesungguhnya Kami telah mengutus rasul-rasul Kami dengan membawa bukti-bukti yang nyata dan telah Kami turunkan bersama mereka Al Kitab dan neraca

(keadilan) supaya manusia dapat melaksanakan keadilan. Dan Kami ciptakan besi yang padanya terdapat kekuatan yang hebat dan berbagai manfaat bagi manusia, (supaya mereka mempergunakan besi itu) dan supaya Allah mengetahui siapa yang menolong (agama)Nya dan rasul-rasul-Nya padahal Allah tidak dilihatnya. Sesungguhnya Allah Maha Kuat lagi Maha Perkasa” (Kementrian Agama).

Menurut M. Quraish Shihab (2009), dalam kitab Al-Misbah, dikemukakan tentang ayat ini bahwa besi mempunyai kekuatan yang dapat menguntungkan manusia. Manfaat besi yang begitu banyak dapat menunjang kemajuan peradaban. Selain itu, besi juga mempunyai kegunaan dalam kelangsungan kehidupan makhluk hidup yang menjadi siklus kehidupan yang baik.

Manfaat besi juga dapat ditinjau dari bidang kesehatan, yakni merupakan elemen yang esensial pada kesehatan tubuh dalam tahap perkembangan seseorang. Besi dibutuhkan dalam tubuh orang dewasa sebesar 34 – 42 mg/kg berat tubuh. Fraksi terbesar besi terdapat pada hemoglobin, myoglobin dan enzim (Adipura, 2015). Konsentrasi besi yang dibutuhkan oleh tubuh harus memenuhi peraturan yang telah diterapkan pemerintah karena akan menimbulkan beberapa dampak negatif jika dalam tubuh mengalami kekurangan atau kelebihan kadar besi.

Keberadaan besi hampir 70% di muka bumi, selain sebagai elemen esensial pada tubuh, besi juga terdapat pada air yang menjadi salah satu sumber kehidupan manusia. Dalam air bersih kemungkinan besar berasal dari berbagai macam jenis mineral dan beberapa sumber besi hadir dalam sistem akuifer tunggal. Namun, jika logam ini tidak terkelolah dengan baik maka dapat mencemari air bersih. Potensial oksidasi-reduksi, kandungan material organik dan aktivitas metabolik dari bakteri dapat mempengaruhi konsentrasi besi di dalam air bersih. Besi juga dapat hadir dalam

sampah-sampah organik dan dalam reruntuhan tanah. Ciri-ciri air yang mengandung besi dengan konsentrasi tinggi, yaitu jika bersentuhan langsung dengan udara akan menjadi keruh, berbau dan tidak menyehatkan untuk dikonsumsi. (Karacibu, 2008).

### ***E. Pencemaran Lingkungan Perairan***

Pencemaran lingkungan perairan adalah peristiwa masuknya atau dimasukkannya makhluk hidup, zat, energi atau komponen lain ke dalam air oleh kegiatan manusia, sehingga kualitasnya turun sampai ke tingkat tertentu yang menyebabkan air tidak dapat berfungsi sesuai dengan peruntukannya (Pergub. No. 69 Tahun 2010 tentang baku mutu dan kriteria kerusakan lingkungan hidup).

Pencemaran lingkungan perairan dapat menyebabkan resiko kesehatan. Hal ini dikarenakan air merupakan kebutuhan utama dalam kehidupan sehari-hari baik di konsumsi secara langsung ataupun tidak. Jadi jika lingkungan sekitar perairan terkandung polutan yang melampaui batas dapat membahayakan kehidupan, baik bagi manusia yang mengkonsumsi air tersebut maupun ekosistem alam lainnya, seperti pada pertanian, sektor perikanan dan sebagainya. Sebagaimana dalam perintah Allah SWT untuk tidak mencemari lingkungan atau membuat kerusakan di muka bumi terdapat pada QS. Al-A'rāf (7): 56.

وَلَا تُفْسِدُوا فِي الْأَرْضِ بَعْدَ إِصْلَاحِهَا وَادْعُوهُ خَوْفًا وَطَمَعًا إِنَّ رَحْمَتَ

اللَّهِ قَرِيبٌ مِّنَ الْمُحْسِنِينَ ﴿٥٦﴾

Terjemahnya:

“Dan janganlah kamu berbuat kerusakan di bumi setelah (diciptakan) dengan baik. Berdoalah kepada-Nya dengan rasa takut dan penuh harap. Sesungguhnya rahmat Allah sangat dekat kepada orang yang berbuat kebaikan” (Kementrian Agama).

Menurut M. Quraish Shihab (2009), dalam kitab Al-Misbah, ayat ini melarang pengrusakan di bumi. Dimana bumi sebagai tempat tinggal dan tempat hidup manusia dan makhluk lainnya sudah dijadikan Allah swt dengan penuh rahmat-Nya. Gunung-gunung, lembah-lembah, sungai-sungai, lautan daratan dan lainnya semua itu diciptakan Allah untuk diolah dan dimanfaatkan dengan sebaik-baiknya oleh manusia, bukan sebaliknya dirusak atau dibinasakan. Hanya saja ada sebageian kaum yang berbuat kerusakan di muka bumi. Allah swt melarang umat manusia berbuat kerusakan di muka bumi karena Dia telah menjadikan manusia sebagai kahlifahny.

Pencemar air menjadi penentuan indikator yang terjadi pada air lingkungan. Pencemar air dikelompokkan menjadi tiga bagian, yakni: (1) bahan buangan organik yang pada umumnya berupa limbah yang dapat membusuk atau terdegradasi oleh mikroorganism, sehingga hal ini dapat mengakibatkan semakin berkembangnya mikroorganism dan mikroba patogen, (2) bahan buangan anorganik yang dapat berupa limbah yang tidak dapat membusuk dan sulit didegradasi oleh mikroorganism. Sehingga hal ini dapat mengakibatkan air menjadi bersifat sadah karena mengandung ion kalsium (Ca) dan ion magnesium (Mg) serta dapat bersifat racun seperti timbal (Pb), arsen (As) dan air raksa (Hg) yang sangat berbahaya bagi tubuh manusia dan (3) bahan buangan zat kimia yang banyak ragamnya seperti bahan pencemar air yang berupa sabun, bahan pemberantas hama, zat warna kimia, larutan penyamak kulit dan

zat radioaktif (Harmayani dan Konsukartha, 2007). Sehingga untuk dapat mengurangi pencemaran lingkungan, maka diperlukan pengolahan limbah sebelum terbuang ke lingkungan.

## **F. Instrumen Penelitian**

### **1. X-Ray Fluorescence (XRF)**

XRF merupakan alat yang digunakan untuk menganalisis komposisi kimia beserta konsentrasi unsur-unsur yang terkandung dalam suatu sampel dengan menggunakan metode spektrometri. XRF umumnya digunakan untuk menganalisa unsur dalam mineral atau batuan. Analisis unsur dilakukan secara kualitatif maupun kuantitatif. Analisis kualitatif dilakukan untuk menganalisis jenis unsur yang terkandung dalam bahan dan analisis kuantitatif dilakukan untuk menentukan konsentrasi unsur dalam bahan (Fridawati, 2008).

Analisis menggunakan XRF dilakukan berdasarkan identifikasi dan pencacahan karakteristik sinar-X yang terjadi akibat efek fotolistrik. Efek fotolistrik terjadi karena elektron dalam atom target pada sampel terkena sinar berenergi tinggi (Fridawati, 2008). Efek fotolistrik adalah proses dimana sinar-X diabsorpsi oleh atom dengan mentransfer energinya pada elektron yang terdapat pada kulit yang lebih dalam (Krinawan, 2009). Selama proses ini, bila sinar-X primer memiliki cukup energi, elektron akan pindah dari kulit elektron bagian dalam sehingga menimbulkan kekosongan orbital. Kekosongan ini menghasilkan keadaan atom yang tidak stabil. Apabila atom kembali pada keadaan stabil, elektron dari kulit luar pindah ke kulit yang

lebih dalam dan proses ini akan menghasilkan energi sinar-X tertentu dan berbeda antara dua energi ikatan pada kulit tersebut. Jenis spektrum X-ray dari sampel yang diradiasi akan menggambarkan puncak-puncak pada intensitas yang berbeda (Waseda dkk, 2011).

Setiap analisa memiliki keunggulan dan kekurangan, keunggulan dari alat XRF ini, yaitu: mudah digunakan dan sampel dapat berupa padat, bubuk (butiran) maupun cairan, tidak merusak sampel sehingga analisa dapat dilakukan berulang-ulang, banyak unsur dapat dianalisa sekaligus, konsentrasi dari ppm hingga 100 dan menjadi metode analisa unsur standar. Sedangkan untuk kelemahannya, tidak dapat mengetahui senyawa apa yang dibentuk oleh unsur-unsur yang terkandung dalam material yang akan kita teliti dan tidak bisa mengetahui struktur dari atom yang terkandung dalam material (Waseda dkk, 2011).

## **2. X-Ray Diffraction (Difraksi Sinar-X)**

Difraksi sinar-X pertama kali dieksperimenkan pada tahun 1912 oleh Friederich, Knipping dan Von Laue, sehingga menjadi salah satu metode karakterisasi material yang paling lama. Teknik ini digunakan untuk mengidentifikasi fasa dan struktur kristalin dalam material dengan cara parameter struktur kisi serta untuk mendapatkan ukuran partikel (Young dan Roger A. Freedman, 2004).

Prinsip dasar dari alat ini, yaitu sebuah sinar-X yang terdifraksi seperti sinar yang direfleksikan dari setiap bidang, berturut-turut dibentuk oleh atom-atom kristal dari material tersebut. Dengan berbagai sudut timbul, pola difraksi yang terbentuk menyatakan karakteristik dari sampel. (Krisnawan, 2009).

Alat ini memiliki tiga komponen utama, yakni sumber sinar-X, material uji dan detektor sinar-X. Komponen pertama, yaitu sumber sinar-X terdapat dalam tabung sinar-X dimana di dalamnya akan terjadi tumbukan antara tegangan tinggi untuk mempercepat elektron dengan logam target sehingga menghasilkan sinar-X dengan panjang gelombang 0,1 sampai  $100 \times 10^{-10}$  m. Sedangkan untuk komponen kedua, yaitu material yang akan di ujikan, dalam bentuk padatan halus (bubuk) dan untuk komponen ketiga, yaitu detektor sinar-X sebagai pendeteksi sudut sinar-X yang direfleksikan pada material uji (Krisnawan, 2009).

Analisis XRD merupakan analisis yang dilakukan secara kualitatif yang berdasarkan pada pola difraksi sinar-X pada sampel yang dianalisis. Hasil analisisnya dilakukan pencocokan dengan kehadiran suatu fasa dalam suatu sampel analisis. Metode yang secara umum digunakan adalah metode pencocokan (*search match analysis*) dengan menggunakan program PCPDFWIN 1997. Sesuai dengan prosedur pencocokan yang baku akan memperoleh lembaran data yang paling cocok dengan sampel yaitu PDF (*powder diffraction files*). Dalam lembaran tersebut jarak  $\Delta d$  atau selisih jarak antar bidang  $d$ , antara data XRD sampel dengan data XRD standar adalah kurang dari  $0,03 \text{ \AA}$  (Manurung, 2011).

### **3. Transmission Electron Microscopy (TEM)**

TEM adalah alat yang digunakan untuk menentukan ukuran partikel dengan resolusinya yang sangat tinggi. Partikel dengan ukuran beberapa nanometer dapat diamati dengan jelas menggunakan TEM. Bahkan dengan *high resolution* TEM (HR-

TEM) kita dapat mengamati posisi atom-atom dalam partikel (Abdullah dan Khairurrijal, 2009).

TEM bekerja dengan prinsip menembakkan elektron ke lapisan tipis sampel, yang selanjutnya informasi tentang komposisi struktur dalam sampel tersebut dapat terdeteksi dari analisis sifat tumbukan, pantulan maupun fase sinar elektron yang menembus lapisan tipis tersebut. Dari sifat pantulan sinar elektron tersebut juga bisa diketahui struktur kristal maupun arah dari struktur kristal tersebut. Bahkan dari analisa lebih detail, bisa diketahui deretan struktur atom dan ada tidaknya yang cacat (*defect*) pada struktur tersebut. Namun, untuk observasi TEM ini, sampel perlu ditipiskan sampai ketebalan lebih tipis dari 100 nanometer dan ini bukanlah pekerjaan yang mudah, perlu keahlian dan alat secara khusus. Obyek yang tidak bisa ditipiskan sampai order tersebut sulit diproses oleh TEM (Krisnawan, 2009).

#### **4. *Atomic Absorption Spectrophotometer (AAS)***

Spektrofotometri serapan atom merupakan teknik analisis kuantitatif dari unsur-unsur, dimana sekitar 70 unsur dapat dianalisis. Pemakaiannya luas pada berbagai bidang, karena prosedurnya paling efektif, spesifik, sensitivitasnya tinggi yaitu kisaran ppm sampai ppb, waktu yang diperlukan cepat dan mudah dilakukan. Teknik spektroskopi atom didasarkan pada absorpsi, emisi, atau fluoresensi dari radiasi elektromagnetik oleh partikel-partikel atom. Ketiga teknik analisis tersebut menghasilkan data spektrum atom pada daerah ultraviolet-sinar tampak dan daerah sinar X (Bintang, 2010).

Metode SSA berprinsip pada adsorpsi cahaya oleh atom. Atom-atom menyerap cahaya pada panjang gelombang tertentu tergantung pada sifat unsurnya. Cahaya pada panjang gelombang mempunyai cukup energi untuk mengubah tingkat elektronik suatu atom. Absorpsi energi, atom memiliki energi lebih untuk menaikkan energinya dari tingkat dasar ke tingkat eksitasinya dengan tingkat eksitasi yang berbeda pada setiap unsur. Spektrum atomik untuk masing-masing unsur terdiri dari garis-garis resonansi. Garis-garis lain yang bukan resonansi dapat berupa spektrum yang berasosiasi dengan tingkat energi molekul, biasanya berupa pita-pita lebar ataupun garis tidak berasal dari eksitasi tingkat dasar yang disebabkan proses atomisasinya (Khopkar, 1990).

Spektrofotometer serapan atom memiliki beberapa bagian yang berperan saat pengoperasian alat, yakni : (1) Sumber radiasi yang digunakan untuk memancarkan spektrum atom dari unsur yang ditentukan. Sumber sinar yang digunakan adalah lampu katoda berongga yang sesuai dengan unsur analisa (Cahyadi, 2009), (2) sistem nyala yang digunakan untuk mengubah sampel yang berupa padatan atau cairan menjadi bentuk uap atomnya atau biasa disebut proses atomisasi, (3) sistem pembakaran yang digunakan untuk mengubah larutan uji menjadi atom-atom dalam bentuk gas (Anshori, 2005), (4) monokromator yang berfungsi untuk memisahkan garis resonansi dari semua garis yang tak diserap oleh pancaran sumber radiasi dan (5) detektor yang berfungsi mengubah intensitas radiasi yang datang menjadi arus listrik (Basset dkk, 1994).

Pengukuran spektrofotometri membutuhkan larutan-larutan yang mempunyai konsentrasi unsur yang ditetapkan yang sangat rendah. Akibatnya larutan standar yang akan diperlukan untuk analisis itu harus juga mengandung konsentrasi yang sangat

rendah dari unsur-unsur yang relevan. Deret standar yang dipersiapkan harus berasal dari larutan induk yang ideal, artinya terbuat dari logam murni atau oksida logam murni dengan melarutkan dalam larutan asam yang sesuai dan zat padat yang digunakan juga harus memiliki kemurnian yang tinggi (Basset dkk, 1994).



## BAB III

### METODE PENELITIAN

#### **A. Waktu dan Tempat**

Penelitian ini dilaksanakan pada bulan Agustus 2016 sampai Januari 2017 di laboratorium kimia fisika Universitas Islam Negeri (UIN) Alauddin Makassar, laboratorium XRD & XRF *Science Building* Universitas Hasanuddin (UNHAS) dan laboratorium Pusat Penelitian Nanosains dan Nanoteknologi (PPNN) Institut Teknologi Bandung (ITB).

#### **B. Alat dan Bahan**

##### **1. Alat Penelitian**

Alat yang digunakan dalam penelitian ini adalah XRD Shimadzu XRD-7000, XRF tipe *ARL Quant'X* Merk *Thermo Scientific*, *Transmission Electron Microscopy* (TEM), *Atomic Absorption Spektrofotometer* (AAS) Varian AA240FS, Shaker merk *Thermo Scientific MAXQ 2000*, oven, neraca analitik, pH meter, rangkaian alat arus DC, alat-alat gelas, spatula, botol semprot.

##### **2. Bahan Penelitian**

Bahan yang digunakan dalam penelitian ini adalah akuades ( $H_2O$ ), aluminium foil, amplas, asam klorida (HCl) 10%, asam nitrat ( $HNO_3$ ) p.a, asam sulfat ( $H_2SO_4$ ) p.a dan 10%, batang besi, besi (II) sulfat heptahidrat ( $FeSO_4 \cdot 7H_2O$ ), elektroda karbon,

kertas saring *whattman* no. 42, natrium hidroksida (NaOH) 0,1 M dan 100 ppm, n-Heksan dan tissue.

### **C. Prosedur Penelitian**

#### **1. Sintesis Nanopartikel Magnetit (Fe<sub>3</sub>O<sub>4</sub>) Secara Elektrolisis**

##### **a. Elektroplating Besi**

###### **(1) Preparasi elektroda besi**

Memotong batang besi dengan panjang 6 cm, kemudian diampas hingga bersih. Batang besi tersebut direndam dengan larutan NaOH 100 ppm yang dipanaskan selama 60 menit dengan suhu 60-70°C. Setelah itu batang besi dibilas dengan akuades dan kembali direndam dengan larutan HCl 10% selama 30 menit. Selanjutnya batang besi dibilas kembali dengan akuades dan direndam dengan larutan n-Heksan selama 30 menit. Kemudian batang besi diampas kembali hingga permukaan bersih dan direndam kembali dengan larutan H<sub>2</sub>SO<sub>4</sub> 10% selama 15 menit.

###### **(2) Pembuatan larutan elektrolit FeSO<sub>4</sub> 0,1 M**

Menimbang padatan FeSO<sub>4</sub>·7H<sub>2</sub>O sebanyak 6,95 gram lalu dilarutkan kedalam 0,5 mL asam sulfat (H<sub>2</sub>SO<sub>4</sub>) dan di encerkan dalam labu takar 250 mL dengan akuades (H<sub>2</sub>O), lalu dihomogenkan.

###### **(3) Pelapisan elektroda besi dengan teknik elektroplating**

Mengisi larutan elektrolit Fe(SO<sub>4</sub>)<sub>3</sub> sebanyak 250 mL kedalam gelas kimia 500 mL. Kemudian menempatkan batang besi yang akan dilapisi sebagai katoda dan elektroda karbon ditempatkan sebagai anoda, lalu diatur jarak antar elektroda 2 cm.

rangkaian tersebut dialirkan arus DC dari *power supply* dengan rapat arus 1 A pada tegangan 10 volt selama 5 jam.

### **b. Sintesis Nanopartikel Magnetit ( $\text{Fe}_3\text{O}_4$ ) Secara Elektrolisis Terhadap Variasi Tegangan**

Mengisi akuades sebanyak 250 mL kedalam gelas kimia dan ditambahkan tetes per tetes larutan natrium hidroksida ( $\text{NaOH}$ ) 0,1 M hingga lautan tersebut dalam suasana basa (pH 10). Kemudian menempatkan batang besi hasil elektroplating sebagai anoda dan batang besi komersil sebagai katoda. Mengaliri arus DC pada sel elektrokimia pada variabel jarak antar elektroda 3 cm dengan variasi tegangan 5 V, 10 V dan 15 V selama 24 jam. Pada akhir proses, produk yang dihasilkan berupa endapan hitam ( $\text{Fe}_3\text{O}_4$ ). Endapan yang didapat kemudian di saring menggunakan kertas saring *whattman* no.42 dan selanjutnya dikeringkan menggunakan oven pada suhu  $80^\circ\text{C}$  selama 60 menit.

### **2. Karakteristik Nanopartikel Magnetit ( $\text{Fe}_3\text{O}_4$ )**

Karakteristik kristal nanopartikel magnetit dilakukan dengan menggunakan alat *X-Ray Diffraction* dan karakteristik morfologi permukaan menggunakan alat *Transmission Electron Microscopy* (TEM).

### 3. Uji Adsorptivitas Nanopartikel Magnetit ( $\text{Fe}_3\text{O}_4$ ) Pada Ion Logam Besi (Fe)

#### a. Penentuan Persentase Ion Logam Fe Teradsorpsi Terhadap Variasi Waktu

##### Kontak

Sampel dengan konsentrasi 75 ppm dan dalam keadaan pH 11 dibuat dalam 5 erlenmeyer sebanyak 25 mL, kemudian ditambahkan masing-masing 0,125 gr  $\text{Fe}_3\text{O}_4$ . Selanjutnya campuran diaduk dengan *shaker* pada kecepatan 150 rpm dengan variasi waktu kontak 60, 120, 180, 240 dan 300 menit, kemudian larutan di saring dengan kertas saring *whattman* no. 42 untuk memisahkan absorben dengan supernatan dan selanjutnya supernatan ditentukan kadar besi dengan menggunakan *Atomic Absorption Spectrophotometer (AAS)* dengan panjang gelombang 248,3 nm.

#### b. Penentuan Persentase Ion Logam Fe Teradsorpsi Terhadap Variasi Konsentrasi

Sampel dengan variasi konsentrasi 50, 75, 100, 125 dan 1250 ppm dengan keadaan pH optimum dibuat ke dalam masing-masing erlenmeyer sebanyak 25 mL, kemudian ditambahkan masing-masing 0,125 gr  $\text{Fe}_3\text{O}_4$ . Selanjutnya campuran diaduk dengan *shaker* pada kecepatan 150 rpm dengan variasi waktu kontak optimum, kemudian larutan di saring dengan kertas saring *whattman* no. 42 untuk memisahkan absorben dengan supernatan dan selanjutnya supernatan ditentukan kadar besi (Fe) dengan menggunakan *Atomic Absorption Spectrophotometer (AAS)* dengan panjang gelombang 248,3 nm.

**c. Pembuatan larutan deret standar****(1) Pembuatan larutan Induk  $\text{Fe}^{3+}$  1000 ppm**

Menimbang padatan  $\text{Fe}(\text{NO}_3)_3$  sebanyak 4,3309 gram dan dilarutkan dalam 1000 mL akuades serta homogenkan.

**(2) Pembuatan larutan baku  $\text{Fe}^{3+}$  100 ppm**

Memipet sebanyak 10 mL larutan induk  $\text{Fe}(\text{NO}_3)_2$  1000 ppm ke dalam labu takar 100 mL, kemudia melarutkan dengan aquadest ( $\text{H}_2\text{O}$ ) hingga tanda batas dan homogenkan.

**(3) Pembuatan deret standar  $\text{Fe}^{3+}$  2, 4, 6, 8 dan 10 ppm**

Menyediakan 5 labu takar 100 mL, memipet 2, 4, 6, 8 dan 10 mL larutan baku kedalam masing-masing labu takar, kemudian melarutkan dengan aquadest ( $\text{H}_2\text{O}$ ) hingga tanda batas dan homogenkan.

**(4) Pembuatan larutan sampel  $\text{Fe}^{3+}$  75 ppm**

Memipet 7,5 mL larutan induk  $\text{Fe}(\text{NO}_3)_2$  1000 ppm kedalam labu takar 100 mL, kemudian melarutkan dengan aquadest ( $\text{H}_2\text{O}$ ) hingga tanda batas dan homogenkan.

## BAB IV

### HASIL DAN PEMBAHASAN

#### A. Hasil Penelitian

Penelitian ini dilakukan melalui tiga tahap yaitu sintesis nanopartikel magnetit ( $\text{Fe}_3\text{O}_4$ ) dengan secara elektrolisis, karakteristik nanopartikel magnetit dan uji adsorptivitas nanopartikel magnetit dalam menyerap ion logam besi (Fe). Adapun hasil penelitian, sebagai berikut :

#### 1. Sintesis Nanopartikel Magnetit ( $\text{Fe}_3\text{O}_4$ ) Secara Elektrolisis

##### a. Electroplating Besi

Berdasarkan hasil analisis XRF pada batangan besi yang digunakan pada proses electroplating mengandung kadar besi sebesar 61.73%.

Tabel 4.1. Bobot hasil electroplating batang besi

No.	Tegangan (Volt)	Rapat arus (A)	Bobot batang besi (gram)		Keterangan
			Sebelum electroplating	Sesudah electroplating	
1.	10	1	1,6547	1,8215	Untuk sintesis tegangan 5 volt
2.	10	1	1,6111	1,7016	Untuk sintesis tegangan 10 volt
3.	10	1	0,8213	1,2893	Untuk sintesis tegangan 15 volt

Pada tabel di atas, menunjukkan peningkatan bobot pada batang besi yang telah dielectroplating. Peningkatan bobot ini dapat menyatakan proses electroplating dilakukan dengan baik.

## b. Pengaruh Variasi Tegangan Terhadap Sintesis Nanopartikel Magnetit ( $\text{Fe}_3\text{O}_4$ )

**Tabel 4.2.** Pengaruh tegangan terhadap sintesis nanopartikel magnetit

No.	Tegangan (Volt)	Rapat Arus (mA)	Warna endapan
1.	5	2,44	Coklat bata
2.	10	6,26	Hitam
3.	15	6,53	Hitam

Pada tabel di atas menunjukkan perubahan warna endapan menjadi lebih hitam terjadi seiring besarnya tegangan yang diberikan pada proses sintesis.

### 2. Karakteristik Nanopartikel Magnetit ( $\text{Fe}_3\text{O}_4$ )

#### a. Data Analisis XRD

**Tabel 4.3.** Hasil analisis XRD nanopartikel magnetit dengan tegangan 10 volt

No	Jenis Mineral	Kadar (%)	Rumus Molekul	Bentuk Kristal
1.	Ghoetit	63.0	$\text{FeOOH}$	Orthorombik
2.	Magnetit	21.5	$\text{Fe}_3\text{O}_4$	Kubik
3.	Amakinit	15.5	$\text{Fe}(\text{OH})_2$	Trigonal (hexagonal axes)

Pada tabel di atas menunjukkan mineral magnetit yang terdapat dari hasil sintesis dengan tegangan 10 volt mengandung kadar 21.5%. Hasil ini berdasarkan difraktogram XRD yang dapat dilihat pada lampiran 4 (c).

**Tabel 4.4.** Hasil analisis XRD nanopartikel magnetit dengan tegangan 15 volt

No	Jenis mineral	Kadar (%)	Rumus molekul	Bentuk Kristal
1.	Magnetit	100%	$\text{Fe}_3\text{O}_4$	Kubik

Pada tabel 4.4, menunjukkan mineral magnetit yang terdapat dari hasil sintesis dengan tegangan 15 volt mengandung kadar 100%. Hasil ini berdasarkan difraktogram XRD yang dapat dilihat pada lampiran 4 (d).

**Tabel 4.5.** Diameter partikel pada variasi tegangan

No.	Tegangan (Volt)	Diameter (nm)
1.	5	-
2.	10	35,24
3.	15	37,79

Pada tabel di atas, menjelaskan bagaimana pengaruh tegangan yang diberikan terhadap diameter partikel yang dihasilkan. Analisa pengukuran tersebut didapatkan dari persamaan *Scherrer* yang berdasarkan analisa difraktogram XRD. Perhitungan pengukuran diameter partikel dapat dilihat pada lampiran 5 dan 6.

#### **b. Analisis TEM**

**Tabel 4.6.** Hasil analisis TEM nanopartikel magnetit ( $\text{Fe}_3\text{O}_4$ ) pada variasi tegangan

No.	Tegangan (Volt)	Bentuk permukaan	Keterangan
1.	5	Tidak nampak secara spesifik	Masih teraglomerasi pada pembesaran 100 nm
2.	10	Sferik (bola)	Masih teraglomerasi pada pembesaran 50 nm
3.	15	Sferik (bola)	Tidak teraglomerasi dan kisi partikel jelas pada pembesaran 50 nm

Pada tabel 4.6, menjelaskan bagaimana bentuk morfologi dari nanopartikel magnetit hasil sintesis terhadap variasi tegangan, yang diamati berdasarkan pembesaran dengan skala hingga 50 nm. Pola yang digambarkan dari hasil TEM dapat dilihat pada lampiran 7.

### 3. Adsorptivitas Nanopartikel Magnetit ( $\text{Fe}_3\text{O}_4$ ) Terhadap Ion Logam Besi (Fe)

#### a. Persentase Penyerapan Ion Logam Fe Terhadap Variasi Waktu Kontak

**Tabel 4.7.** Adsorptivitas nanopartikel magnetit ( $\text{Fe}_3\text{O}_4$ ) terhadap ion logam Fe

Waktu (jam)	Konsentrasi (ppm)			Kapasitas adsorpsi (mg/g)	Efisiensi Penyerapan (%)
	[Fe] awal	[Fe] Sisa	[Fe] terserap		
1	75	0.5668	74.4332	14.88	99.24
2	75	0.7079	74.2921	14.86	99.05
3	75	0.9759	74.0241	14.80	98.69
4	75	1.0775	73.9225	14.78	98.56
5	75	3.1385	71.8615	14.37	95.81

Berdasarkan tabel 4.7, menunjukkan bahwa nanopartikel magnetit mampu mengadsorpsi ion logam Fe dengan tingkat efisiensi tertinggi 99.24%, terlihat pada waktu kontak 1 jam dengan menggunakan larutan limbah buatan dengan konsentrasi awal sebesar 75 ppm. Perhitungan kapasitas adsorpsi tercantum pada lampiran 8.

## b. Persentase Penyerapan Ion Logam Fe Terhadap Variasi Konsentrasi

**Tabel 4.8.** Adsorptivitas nanopartikel magnetit ( $\text{Fe}_3\text{O}_4$ ) terhadap ion logam Fe

Waktu (jam)	Konsentrasi (ppm)			Kapasitas adsorpsi (mg/g)	Efisiensi Penyerapan (%)
	[Fe] awal	[Fe] Sisa	[Fe] terserap		
1	50	7.4881	42.5119	8.50	85.02
1	75	7.0731	67.9269	13.56	90.56
1	100	6.0489	93.9511	18.79	93.95
1	125	2.1766	122.8234	24.56	98.25
1	150	1.5695	148.4305	29.68	98.95

Berdasarkan tabel di atas, menunjukkan bahwa nanopartikel magnetit mampu mengadsorpsi ion logam Fe hingga 150 ppm dengan efisiensi penyerapan 98.95%. Perhitungan kapasitas adsorpsi tercantum pada lampiran 9.

## B. Pembahasan

### 1. Sintesis Nanopartikel Magnetit ( $\text{Fe}_3\text{O}_4$ ) Secara Elektrolisis

Pada proses sintesis, dilakukan dua tahap, yakni elektroplating besi dan penentuan pengaruh variasi tegangan terhadap sintesis nanopartikel magnetit.

#### a. Elektroplating Besi

Pembuatan elektroda besi dilakukan dengan proses elektroplating. Elektroplating ini bertujuan untuk mendapatkan lapisan besi yang lebih murni dan homogen. Tahap elektroplating besi diawali dengan preparasi batang besi dengan beberapa tahap. Batang besi yang digunakan pada penelitian ini berukuran diameter 3,5 mm dan panjang 6 cm dengan kandungan besi 61,73%. Dalam preparasi elektroda

besi ini dilakukan dengan dua cara, yakni cara kimia dan mekanik. Cara mekanik dilakukan dengan mengamplas permukaan besi yang bertujuan untuk membersihkan permukaan dari kontaminan lingkungan, seperti debu oksida dan lapisan-lapisan tipis yang melekat. Menurut Riyanto (2013), kontaminan atau pengotor yang terdapat pada permukaan besi dapat mengganggu ikatan bahan dengan logam pelapis, sehingga menyebabkan hasil plating yang tidak bagus. Selain itu, menurut Furqon dan Sulistiojono (2015) tahap ini juga bertujuan untuk menghaluskan permukaan agar hasil plating lebih rata pada permukaan besi. Sehingga proses ini menjadi tahap awal yang penting dalam menjaga kualitas plating.

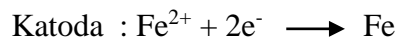
Cara kimia dalam preparasi elektroda besi dilakukan dengan menggunakan beberapa pelarut, seperti larutan alkali, asam, basa dan pelarut organik. Pada tahap ini besi yang telah diampas, direndam dengan larutan NaOH yang dipanaskan sebagai pembersih logam. Larutan NaOH berfungsi untuk menyabunkan lemak dan minyak yang melekat dipermukaan besi. Ketika lemak atau minyak telah tersabunkan maka secara tidak langsung akan terlepas dari besi dan akan ikut larut dalam larutan pencuci (Furqon dan Sulistiojono, 2015). Hal ini dapat dilihat secara fisik larutan akan berubah warna dari bening menjadi putih dan sedikit berbuih. Lemak atau minyak yang dihilangkan bertujuan agar memaksimalkan daya hantar listrik yang ada pada besi.

Preparasi ini dilanjutkan dengan perendaman batang besi dengan larutan asam, dimana batang besi yang akan dilapisi direndam dengan larutan HCl 10% yang berfungsi untuk menghilangkan logam berat oksida dan sejenisnya pada permukaan besi. Pada tahap ini dapat diamati secara fisik pada larutan yang berubah warna menjadi

keruh dan sedikit bergelembung akibat dari karat besi yang terlepas dari besi. Proses berlanjut untuk perendaman besi dengan larutan n-Heksana. Perendaman ini berfungsi menghilangkan atau membersihkan kontaminan permukaan yang terdiri dari grease seperti, lilin dan bahan-bahan organik lainnya (Riyanto, 2013).

Batang besi yang telah melalui beberapa proses preparasi tersebut kemudian diaktivasi, dimana batang besi diproses ini direndam dengan larutan  $H_2SO_4$  10%, dengan tujuan dapat membuka pori-pori permukaan besi sehingga pelapisan logam dapat terbentuk secara maksimal (Wahyudi dan Fahrudin, 2015). Pembuatan elektroda besi dilanjutkan dengan proses elektroplating.

Elektroplating terdiri dari tiga komponen penting, yakni elektroda (anoda dan katoda), larutan elektrolit dan sumber arus listrik. Elektroda yang bertindak sebagai anoda pada tahap ini, yakni elektroda karbon (C). Elektroda ini termasuk elektroda inert yang tidak ikut bereaksi, melainkan hanya sebagai penghantar arus listrik untuk mencapai reaksi redoks, sehingga dalam hal ini yang mengalami reaksi oksidasi yaitu zat terlarut atau air sebagai pelarutnya. Sedangkan yang bertindak sebagai katoda adalah batang besi yang telah diaktivasi (Riyanto, 2013). Pada proses ini menggunakan larutan  $FeSO_4$  0,1 M yang termasuk jenis larutan elektrolit kuat. Larutan elektrolit kuat dapat mengalami reaksi ionisasi sempurna sehingga memiliki jumlah ion yang lebih banyak, karena banyaknya ion yang dihasilkan oleh reaksi tersebut, maka dapat menghantarkan arus listrik dengan daya hantar yang kuat. Pada proses elektroplating ini dialirkan arus 1 A dan tegangan 10 volt selama 5 jam. Reaksi yang terjadi pada proses ini, yaitu :



Reaksi Keseluruhan :



Analisa hasil elektroplating dapat dilihat dari perubahan permukaan batang besi yang dilapisi, yaitu permukaan menjadi lebih tebal dibandingkan dengan permukaan batang besi yang tidak dilapisi. Hal ini juga mempengaruhi bobot batang besi, dimana terjadi peningkatan bobot batang besi yang telah dilapisi. Perubahan permukaan tersebut dipengaruhi dari proses elektroplating yang melibatkan reaksi redoks, sehingga batang besi yang bertindak sebagai katoda akan mengalami reaksi reduksi, dimana akan menerima elektron dari anoda yang mengalami reaksi oksidasi.

Banyaknya jumlah elektron hasil reaksi redoks ini dipengaruhi oleh potensial arus listrik yang diberikan dalam siklus elektroplating. Kenaikan tegangan akan meningkatkan atom terionisasi sehingga menghasilkan medan listrik yang besar diantara kedua elektroda. Pada medan listrik yang besar menyebabkan pergerakan elektron semakin cepat dan pembentukan lapisan pada katoda semakin cepat. Hal ini juga dipengaruhi oleh waktu pelapisan, dimana semakin lama waktu pelapisan semakin banyak ion logam yang menempel pada katoda (Riyanto, 2013). Demikian parameter yang sangat berpengaruh dalam proses elektroplating ini, yakni besarnya potensial arus listrik dan semakin lama waktu pelapisan akan mendorong pelapisan pada permukaan bahan terjadi secara maksimal dan lebih tebal serta meningkatkan bobot dari bahan

yang terlapis. Perubahan bobot batang besi hasil elektroplating dapat dilihat pada tabel 4.1.

**b. Penentuan Pengaruh Tegangan Terhadap Sintesis Nanopartikel magnetit ( $\text{Fe}_3\text{O}_4$ )**

Sintesis nanopartikel magnetit dilakukan dengan proses elektrolisis, dalam hal ini besi hasil elektroplating ditempatkan sebagai anoda, besi tanpa hasil elektroplating sebagai katoda dan aquadest dengan penambahan NaOH hingga pH 10 sebagai elektrolitnya serta tegangan di variasikan 5, 10 dan 15 volt selama 24 jam. Berdasarkan penelitian Fajaroh, dkk (2011), penggunaan NaOH sebagai pengontrol pH larutan, menjadi penyedia ion  $\text{OH}^-$  di daerah sekitar anoda, dimana ion  $\text{OH}^-$  ini diperlukan dalam reaksi pembentukan senyawa  $\text{Fe}(\text{OH})_2$ , yang menjadi senyawa penting dalam pembentukan  $\text{Fe}_3\text{O}_4$ . Adapun pengaruh dari variasi voltase ini dapat dilihat pada sifat fisik produk yang dihasilkan, pada voltase 5 volt menghasilkan endapan berwarna coklat bata, sedangkan pada voltase 10 dan 15 volt menghasilkan endapan hitam.

Perbedaan warna endapan yang dihasilkan pada 5 volt ini disebabkan karena laju reaksi yang dihasilkan pada tegangan ini tidak mencukupi untuk mencapai reaksi pembentukan  $\text{Fe}_3\text{O}_4$ . Hal ini sesuai dengan hukum Coloumb, semakin besar arus yang diberikan maka elektron yang ditransmisikan juga semakin banyak (Rahmawati, 2013), artinya dengan tegangan 5 volt tidak dapat menghasilkan arus yang cukup besar maka difusi ion  $\text{OH}^-$  menuju anoda sangatlah lambat dalam pembentukan senyawa  $\text{Fe}(\text{OH})_2$ , begitu pula pada gas  $\text{O}_2$  yang dihasilkan dari reduksi air di anoda sangatlah sedikit sehingga reaksi yang terjadi tidak dapat mencapai pembentukan  $\text{Fe}_3\text{O}_4$ . Selain itu,

berdasarkan penelitian Mahmuda, dkk (2014), yang menyatakan analisa sifat fisik dalam sintesis nanopartikel Fe<sub>3</sub>O<sub>4</sub>, untuk larutan dan endapan yang berwarna coklat bata mengindikasikan warna dari senyawa FeOOH, sedangkan untuk Fe<sub>3</sub>O<sub>4</sub> memiliki warna fisik hitam seperti yang terbentuk pada tegangan 10 dan 15 volt. Adapun reaksi yang terjadi pada sintesis yaitu:



Mekanisme reaksi yang terjadi yaitu, pada katoda terjadi reaksi reduksi H<sub>2</sub>O menjadi OH<sup>-</sup> dan gas H<sub>2</sub>. Terbentuknya gas H<sub>2</sub> juga dapat diidentifikasi dengan munculnya gelembung-gelembung. Pada anoda, elektroda besi mengalami reaksi oksidasi menjadi ion Fe<sup>2+</sup> dan melepaskan elektron. Air di permukaan anoda juga akan teroksidasi menjadi O<sub>2</sub>, H<sup>+</sup> dan melepaskan elektron. Gas O<sub>2</sub> diidentifikasi dengan adanya gelembung-gelembung kecil pada permukaan anoda. Gelembung-gelembung H<sub>2</sub> lebih tampak daripada gelembung-gelembung O<sub>2</sub> karena tidak bereaksi lebih lanjut sehingga masih dapat dijumpai pada akhir sintesis. Ion OH<sup>-</sup> yang terbentuk di katoda akan berdifusi menuju anoda dan bereaksi dengan ion Fe<sup>2+</sup> membentuk Fe(OH)<sub>2</sub>. Karena mobilitas OH<sup>-</sup> lebih cepat daripada Fe<sup>2+</sup>, maka reaksi pembentukan Fe(OH)<sub>2</sub> terjadi di daerah sekitar anoda.

Menurut penelitian Januarita, dkk (2010), nilai mobilitas ion absolut  $\text{OH}^-$  ( $\mu_0$ ) temperatur ruang adalah  $0,002050 \text{ cm}^2 \text{ volt}^{-1} \text{ sec}^{-1}$  sedangkan untuk ion  $\text{Fe}^{2+}$  memiliki nilai mobilitas ion sebesar  $0,000616 \text{ cm}^2 \text{ volt}^{-1} \text{ sec}^{-1}$ . Sumber  $\text{O}_2$  selain dari oksigen yang terlarut juga berasal dari reaksi oksidasi yang terjadi di sekitar anoda. Selanjutnya  $\text{FeOOH}$  dan  $\text{Fe}(\text{OH})_2$  akan bereaksi membentuk  $\text{Fe}_3\text{O}_4$ .

Berdasarkan reaksi yang terjadi, dapat dinyatakan semakin besar tegangan yang diberikan pada proses sintesis dapat mempengaruhi hasil yang didapatkan, dimana semakin besar tegangan, semakin berwarna hitam endapan yang dihasilkan. Warna hitam pekat yang dihasilkan menunjukkan senyawa  $\text{Fe}_3\text{O}_4$  telah terbentuk dalam proses elektrolisis.

## **2. Karakteristik Nanopartikel $\text{Fe}_3\text{O}_4$ Yang Disintesis Secara Elektrolisis**

### **a. Analisis XRD**

Karakterisasi nanopartikel magnetit dilakukan dengan difraksi sinar X (shimadzu XRD-7000) untuk menentukan ukuran kristal dan jenis mineral yang terkandung didalam sampel. Data yang diperoleh berupa intensitas dan sudut ( $2\theta$ ) yang kemudian dicocokkan dengan data standar pola difraksi sinar-X JCPDS (*Joint Committee For Powder diffraction Standar*) untuk mengidentifikasi senyawa yang terdapat dalam sampel dan pola difraksi untuk partikel magnetit hasil sintesis disesuaikan dengan pola difraksi standar  $\text{Fe}_3\text{O}_4$  JCPDS No. 19-0629.

Perlakuan variasi tegangan yang diberikan menghasilkan pola yang berbeda. Pola tersebut memperlihatkan adanya perbedaan yang muncul pada ketajaman puncak seiring bertambahnya tegangan yang digunakan pada proses sintesis. Difraktogram

hasil XRD dapat dilihat pada lampiran 4, menunjukkan bahwa mineral yang diperoleh dalam sampel sintesis merupakan mineral kristal yang dilihat dari puncak-puncak tajam yang muncul.

Difraktogram untuk 5 volt tidak menunjukkan adanya pola difraksi senyawa magnetit, hal ini terjadi akibat reaksi yang tidak tercapai dalam pembentukan magnetit sebagaimana yang telah dijelaskan sebelumnya. Hal ini juga dapat diperkuat dari perbandingan antara difraktogram 5 volt dan 10 volt serta 15 volt (lampiran 4 bagian a dan b) tidak adanya muncul puncak pada sudut tertentu yang menjadi indeks khas dari senyawa magnetit seperti yang terlihat pada difraktogram 10 dan 15 volt.

Difraktogram nanopartikel magnetit untuk tegangan 10 volt dapat dilihat pada lampiran 4 (c), dimana gambar tersebut menunjukkan indikasi terbentuknya fasa magnetit di dalam sampel dengan kadar 21,5%. Indikasi tersebut didasarkan pada sudut  $2\theta$ :  $35.38^\circ$  yaitu sebagai puncak utama dengan indeks miller 131. Difraksi puncak utama yang dihasilkan mendekati hasil penelitian Sartika dkk (2014), yang menghasilkan puncak difraksi utama pada sudut  $2\theta = 35,68^\circ$  yang menjadi nilai parameter kisi dan jarak antar bidang Kristal  $\text{Fe}_3\text{O}_4$ .

Selain dari puncak utama, terdapat juga puncak indeks lainnya yang menjadi indeks khas dari magnetit dengan struktur kubik (FCC), yaitu pada sudut  $47.18^\circ$ ;  $56.78^\circ$ ;  $62.61^\circ$  dengan indeks miller 202, 151 dan 404. Puncak-puncak yang dihasilkan pada difraktogram ini, sesuai dengan penelitian Fajaroh dkk (2011), yang menyatakan pembentukan senyawa magnetit dapat dilihat dari hasil analisis XRD antara sudut

30,5° sampai 63,1° yang sesuai dengan standar pola difraksi  $\text{Fe}_3\text{O}_4$  JCPDS No. 19-0629.

Kemunculan fasa lain juga terlihat pada difraktogram yang menunjukkan adanya kandungan lain dalam sampel, yakni senyawa oksida besi  $\text{FeOOH}$  dengan jumlah yang tinggi 63.0% dan  $\text{Fe}(\text{OH})_2$  15.5%. Menurut penelitian Januarita, dkk (2010) adanya pengotor ini disebabkan ion  $\text{OH}^-$  yang terbentuk di katoda tidak semuanya dapat mencapai anoda untuk bereaksi dengan  $\text{Fe}^{2+}$  untuk membentuk  $\text{Fe}(\text{OH})_2$ . Karena  $\text{Fe}(\text{OH})_2$  yang terbentuk sedikit maka tidak semua  $\text{FeOOH}$  yang ada beraksi dengan dengan  $\text{Fe}(\text{OH})_2$  untuk membentuk  $\text{Fe}_3\text{O}_4$ . Sehingga pada produk akhir masih terdapat  $\text{FeOOH}$  dalam jumlah yang banyak.

Difraktogram nanopartikel magnetit untuk tegangan 15 volt dapat dilihat pada lampiran 4 (d), dimana gambar tersebut juga menunjukkan adanya fasa senyawa magnetit di dalam sampel dengan kandungan 100%. Indeks Miller yang menjadi khas magnetit juga muncul pada variabel ini, dimana diindikasikan dari puncak utama pada sudut  $2\theta$ : 35.33° dengan indeks 131, serta indeks pendukung untuk struktur kubik (FCC) pada sudut 29.97°; 56.84°; 62.47° dengan indeks 202, 151 dan 404. Pencapaian kandungan magnetit hingga 100% ini dapat diasumsikan reaksi yang terjadi mencapai titik maksimal pembentukan magnetit tanpa ada hasil samping seperti yang terlihat pada difraktogram  $\text{Fe}_3\text{O}_4$  hasil sintesis dengan tegangan 10 volt.

Berdasarkan hasil difraktogram XRD, dapat juga ditentukan diameter dari partikel yang disintesis terhadap variasi tegangan. Karena dalam prinsip kerja alat XRD berdasarkan hukum Bragg, maka perhitungan yang dilakukan menggunakan tetapan

Bragg yang diturunkan dalam persamaan *Scherrer*. Berdasarkan hasil analisis data, nanopartikel magnetit dengan tegangan sintesis 10 volt memiliki diameter 35,24 nm dan untuk 15 volt memiliki diameter 37,79 nm. Berdasarkan data tersebut dapat disimpulkan, semakin besar tegangan yang diberikan pada proses sintesis akan memperbesar laju reaksi yang terjadi pada reaksi elektro-oksidasi, sehingga pembentukan nukleasi magnetit semakin cepat dan mempengaruhi besarnya diameter partikel yang dihasilkan serta akan mempengaruhi sifat dari magnetit tersebut.

Berdasarkan penelitian Riyanto (2012) yang melakukan analisis kurva magnetisasi, menyatakan nanopartikel dengan ukuran partikel yang lebih kecil memiliki respon magnetik yang lebih tinggi jika dibandingkan dengan nanopartikel yang ukuran partikelnya lebih besar. Hal ini disebabkan oleh energi anisotropi pada momen magnetik yang dimiliki oleh partikel dengan ukuran kecil cenderung tidak stabil, sehingga bila ada medan magnet eksternal yang mempengaruhi momen magnetik pada nanopartikel yang berukuran kecil akan memberikan respon yang lebih cepat. Jadi dapat disimpulkan bahwa nanopartikel magnetit yang disintesis dengan tegangan 10 volt memiliki respon magnetik yang tinggi dibandingkan dengan nanopartikel magnetit yang disintesis dengan tegangan 15 volt.

#### **b. Analisis TEM**

Karakteristik nanopartikel magnetit menggunakan *Transmission Electron Microscopy* (TEM) menunjukkan morfologi permukaan. Pada variasi 5 volt dengan pembesaran 1  $\mu\text{m}$  tidak menunjukkan morfologi yang jelas dan saat diperbesar hingga 100 nm, gambar menunjukkan bentuk yang sedikit lebih jelas, namun tetap tidak

memberikan bentuk yang spesifik serta masih teraglomerasi atau tidak meratanya permukaan partikel. Pada variabel ini tidak menunjukkan morfologi dari senyawa magnetit, berdasarkan indeks miller yang tidak muncul baik pada analisa TEM maupun XRD.

Hasil analisa TEM nanopartikel magnetit yang disintesis dengan tegangan 10 volt, pada pembesaran 200 nm menunjukkan distribusi umum permukaan partikel dan pada pembesaran 50 nm, morfologi dari permukaan sampel terlihat cukup jelas yaitu produk yang dihasilkan berbentuk bola, namun masih teraglomerasi yang dapat dilihat dari beberapa bagian tampak bayang hitam yang tidak merata. Serta pada kisi antara partikel yang juga tidak jelas menunjukkan pada sampel tidak hanya mengandung satu senyawa sehingga distribusi yang dihasilkan tidak merata.

Hasil analisa TEM nanopartikel magnetit yang disintesis dengan tegangan 15 volt, pada pembesaran 50 nm menunjukkan bentuk dari produk yang sama dengan hasil sintesis tegangan 10 volt, yaitu bentuk bola dan sudah tidak teraglomerasi. Hal ini dapat dilihat distribusi ukuran partikel yang cukup merata dan kisi antara partikel cukup jelas serta dapat dijelaskan bahwa bentuk kristal dari partikel tersebut lebih maksimal terbentuknya dari pada hasil sintesis tegangan 10 volt.

Pola yang dihasilkan pada penelitian ini sesuai dengan penelitian Fajaroh, dkk (2010), yang menunjukkan morfologi nanopartikel magnetit dengan bentuk sferik (bola) pada pembesaran pengamatan 100 nm dan distribusi ukuran partikel yang tidak merata. Dan didukung pada penelitian Sartika, dkk (2014), dengan pembesaran pada

skala 20 nm, yang juga menunjukkan pola yang sama yaitu pola yang berbentuk sferik (bola).

Kualitas dari nanopartikel magnetit yang dihasilkan, bergantung pada proses sintesisnya, sehingga jika ditinjau dari distribusi ukuran dengan pembesaran yang sama, pada nanopartikel magnetit yang disintesis dengan tegangan 15 volt memiliki ukuran partikel yang lebih besar dari pada magnetit yang disintesis dengan tegangan 10 volt, data tersebut juga sesuai dengan hasil analisa data persamaan *Scherrer*.

### **3. Adsorptivitas Nanopartikel Magnetit ( $\text{Fe}_3\text{O}_4$ ) Terhadap Ion Logam Besi ( Fe )**

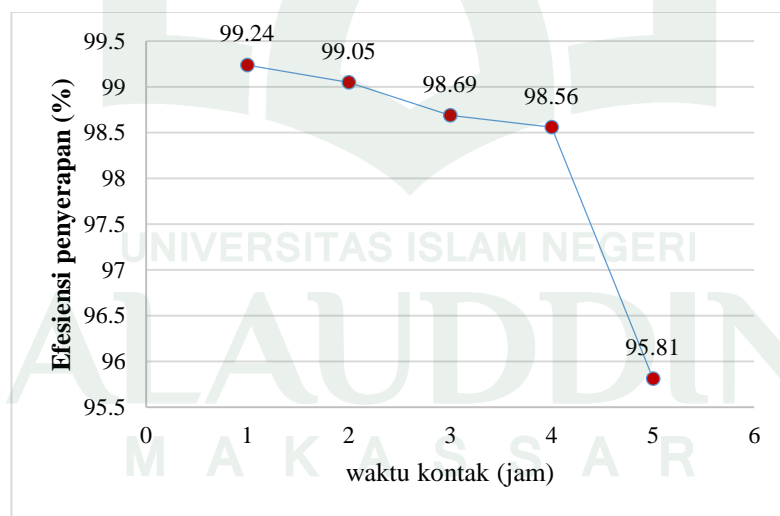
Nanopartikel magnetit merupakan salah satu jenis mineral oksida besi yang memiliki kemampuan adsorpsi cukup baik. Menurut Meylani (2015), berdasarkan elektronegatifitasnya, atom O memiliki elektronegatifitas yang lebih besar dibandingkan atom Fe sehingga kemampuannya untuk menarik elektron-elektron lebih besar dibandingkan dengan atom Fe. Sehingga pada proses adsorpsi dengan nanopartikel  $\text{Fe}_3\text{O}_4$  sebagai adsorben, memanfaatkan atom-atom O di permukaan  $\text{Fe}_3\text{O}_4$  yang berpotensi mengikat ion-ion logam berat, sehingga dapat menurunkan kadar logam berat dalam air atau pun limbah cair.

Uji adsorptivitas nanopartikel magnetit terhadap ion logam Fe dilakukan dengan beberapa parameter pengukuran yang menjadi faktor penting dalam penyerapan, yaitu pH, waktu kontak dan konsentrasi. Pada parameter pH, dilakukan optimasi berdasarkan penelitian sebelumnya yaitu pada pH 11. Berdasarkan penelitian Putra, dkk (2014), menyatakan dengan semakin tingginya pH larutan (basa) dapat mengurangi konsentrasi ion logam Fe dengan maksimal. Hal ini terjadi karena pada kondisi basa ion  $\text{OH}^-$  dapat

mempengaruhi permukaan adsorben. Banyak ion  $\text{OH}^-$  dalam larutan mengakibatkan permukaan adsorben memiliki permukaan negatif yang dapat mengikat ion logam Fe yang bermuatan positif, sehingga konsentrasi logam Fe dalam larutan dapat berkurang.

#### a. Persentase Penyerapan Ion Logam Fe Terhadap Variasi Waktu Kontak

Penentuan persentase ion logam Fe teradsorpsi terhadap variasi waktu kontak ini bertujuan untuk melihat waktu yang dibutuhkan oleh nanopartikel magnetit untuk menyerap ion logam Fe secara maksimal. Waktu kontak adalah salah satu variabel yang mempengaruhi proses penyerapan, dimana waktu kontak merupakan lamanya kontak antara adsorben dengan adsorbat dan akan terus berlangsung selama belum terjadi suatu kesetimbangan (Hidayah dkk, 2012). Pengaruh waktu kontak nanopartikel magnetit pada proses penyerapan logam Fe dapat dilihat pada Gambar 4.1.



**Gambar 4.1.** Hubungan antara waktu kontak dan efisiensi penyerapan

Berdasarkan gambar 4.1, dapat dijelaskan waktu yang dibutuhkan untuk nanopartikel magnetit menyerap logam Fe secara maksimal berada pada waktu 1 jam dengan efisiensi penyerapan 99,24%. Pencapaian efisiensi penyerapan ion logam Fe yang tinggi dapat ditinjau dari sifat adsorbennya, yaitu dengan adsorben yang berukuran partikel pada skala nanometer memiliki luas permukaan besar, sehingga menunjukkan banyaknya jumlah adsorbat yang dapat teradsorpsi oleh adsorben. Hal ini sesuai dengan penelitian Andika, dkk (2016), yang menyatakan bahwa luas permukaan spesifik pada adsorben akan berbanding lurus dengan kapasitas adsorpsi, dikarenakan adsorbat akan memenuhi permukaan adsorben secara maksimal seiring dengan waktu kontak antara adsorbat dengan adsorben.

Pada gambar 4.1, juga menunjukkan pada waktu 2 sampai 5 jam mengalami penurunan penyerapan dari 99,24% menjadi 95,81%, hal ini terjadi akibat dari permukaan adsorben telah mencapai titik jenuh untuk mengikat ion logam Fe. Berdasarkan penelitian Putra, dkk (2014) dan Akmal, dkk (2014), yang menyatakan semakin lama waktu kontak antara ion logam Fe dengan nanopartikel magnetit dapat meningkatkan penyerapan ion logam Fe, namun jika terlalu lama dapat menurunkan tingkat penyerapan logam Fe. Hal ini disebabkan semakin lama waktu kontak yang digunakan mengakibatkan terjadinya proses desorpsi pada adsorben. Desorpsi terjadi akibat permukaan adsorben yang telah jenuh. Pada keadaan jenuh, laju adsorpsi menjadi berkurang sehingga waktu kontak tidak lagi berpengaruh dan akan terjadi peristiwa lepasnya kembali ion logam Fe yang sudah terikat pada gugus aktif adsorben.

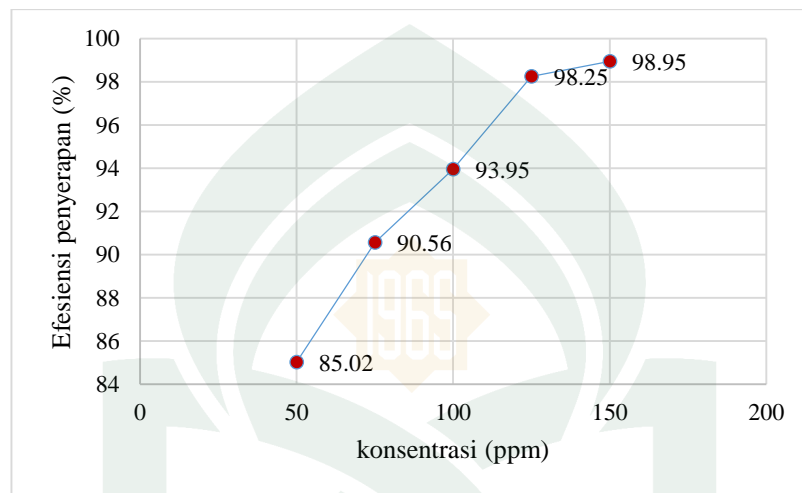
Penurunan penyerapan yang terjadi antara adsorben nanopartikel magnetit dengan ion logam Fe juga dipengaruhi oleh kecepatan pengadukan yang diberikan. Hal ini sesuai dengan penelitian Syauqiah, dkk (2011), yang menyatakan bahwa, kecepatan waktu kontak adsorben dengan adsorbat mempengaruhi efisiensi penyerapan. Bila pengadukan terlalu lambat maka proses adsorpsi berlangsung lambat pula, tetapi bila pengadukan terlalu cepat memungkinkan struktur adsorben cepat rusak, sehingga proses adsorpsi kurang optimal dan berdasarkan penelitian tersebut kecepatan aduk yang efektif untuk menyerap logam Fe hanya sebesar 90 rpm.

Berdasarkan hal tersebut, mekanisme penyerapan ion logam terhadap waktu kontak bergantung pada kecepatan pengadukan, dimana jika waktu kontak yang lama diberi kecepatan pengadukan yang cepat akan mengakibatkan adsorpsi yang kurang maksimal, yang dimana keadaan proses adsorpsi akan cepat mencapai titik jenuh dalam pengikatan ion logam dengan adsorben. Sehingga pada penelitian ini yang menggunakan kecepatan pengadukan 150 rpm, mengakibatkan tumbukan antara pusat aktif adsorben dengan ion logam Fe terjadi maksimal diwaktu 1 jam.

#### **b. Persentase Penyerapan Ion Logam Fe Terhadap Variasi Konsentrasi**

Variasi konsentrasi pada adsorpsi ini bertujuan untuk melihat kapasitas maksimal dari magnetit mengikat ion logam Fe. Konsentrasi ion logam berhubungan dengan jumlah sisi aktif yang terdapat pada permukaan adsorben, bila jumlah sisi aktif cukup besar dibandingkan jumlah ion logam maka persentase teradsorpsi akan tinggi sampai pada jumlah sisi aktif sama dengan ion logam. Namun pada kondisi tertentu

persentase teradsorpsi akan konstan bahkan terjadi penurunan karena telah mencapai titik jenuh pada adsorben (Syauqiah dkk, 2011). Hasil penyerapan nanopartikel magnetit terhadap variasi konsentrasi ion logam Fe dapat dilihat pada gambar 4.2.



**Gambar 4.2.** Hubungan antara konsentrasi dan efisiensi penyerapan

Berdasarkan gambar di atas, diketahui bahwa konsentrasi larutan 50 ppm hingga 150 ppm terjadi peningkatan persen teradsorpsi dari 85,02% sampai 98,95% yang dapat dilihat pada grafik, hal ini terjadi karena ion logam Fe yang terserap oleh adsorben  $\text{Fe}_3\text{O}_4$  dengan ion logam Fe yang terdapat dalam larutan mengalami kesetimbangan.

Hasil penelitian ini sesuai dengan pendapat Mulyawan (2015), yang menyatakan pengaruh konsentrasi penyerapan logam Fe dapat digambarkan melalui teori tumbukan, dimana semakin tinggi konsentrasi maka semakin banyak molekul dalam setiap satuan luas ruangan, dengan hal tersebut tumbukan antar molekul akan semakin sering terjadi dan memungkinkan untuk menghasilkan tumbukan yang efektif

akan semakin besar, sehingga proses penyerapan akan terjadi dengan baik. Berdasarkan hal tersebut, mekanisme penyerapan ion logam berat bergantung pada konsentrasi awal logam yang digunakan. Konsentrasi ion logam dalam larutan sangat mempengaruhi besarnya adsorpsi suatu adsorben.

Tingginya efisiensi penyerapan yang terjadi hingga 98,95% pada konsentrasi 150 ppm juga dipengaruhi oleh luas permukaan adsorben yang dihasilkan dari proses sintesis. Menurut Sartika, dkk (2014), luas permukaan adsorben menjadi faktor penting dalam proses adsorpsi, dimana semakin luas permukaan adsorben, maka semakin banyak zat yang teradsorpsi. Luas permukaan adsorben ditentukan oleh ukuran partikel, dimana diameter dan luas permukaan berbanding terbalik. Maka dengan memanfaatkan diameter adsorben nanopartikel  $\text{Fe}_3\text{O}_4$  hasil sintesis sebesar 35,24 nm sebagai adsorben, dapat memaksimalkan penyerapan ion logam Fe.

## BAB V

### PENUTUP

#### A. Kesimpulan

Berdasarkan hasil pengamatan pada penelitian, maka dapat disimpulkan bahwa:

1. Hasil analisa XRD, nanopartikel magnetit ( $\text{Fe}_3\text{O}_4$ ) yang disintesis secara elektrolisis dapat mencapai ukuran partikel yang kecil pada tegangan 10 volt, adapun diameter yang dihasilkan sebesar 35,24 nm. Namun, masih mengandung impurities senyawa  $\text{FeOOH}$  dan pada analisa TEM, nanopartikel  $\text{Fe}_3\text{O}_4$  yang disintesis dengan tegangan 10 volt menghasilkan pola berbentuk bola dan masih teraglomerasi.
2. Efektifitas penyerapan nanopartikel magnetit terhadap ion logam Fe mencapai 98,95% pada waktu kontak 1 jam dengan konsentrasi awal 150 ppm.

#### B. Saran

Saran yang dapat diberikan pada penelitian selanjutnya, yaitu melakukan modifikasi larutan elektrolit sebagai prekursor yang dapat mengilangkan pengotor  $\text{FeOOH}$  dan dilanjutkan analisis *Vibrating Sample Magnetometer* (VSM) untuk mendapatkan nilai momen magnetik dari bahan  $\text{Fe}_3\text{O}_4$  yang dihasilkan.

## DAFTAR PUSTAKA

Al-Qur'an Al-karim.

Abdullah, dkk. "Review: Sintesis Nanopartikel", *Jurnal Nanosains & Nanoteknologi* 1, no. 2 (2008): h. 33-57.

Abdullah, Mikrajuddin dan Khairurrijal. "Review: Karakteristik Nanomaterial". *Jurnal Nanosains dan Nanoteknologi* 2, no. 1 (2008): h. 1-9.

Adipura, Sigit. "Pengaruh TPA Tamangapa Terhadap Kualitas Air Baku Di Wilayah Pemukiman Sekitarnya (Besi dan Mangan)". *Skripsi*. Makassar: Fakultas Teknik Universitas Hasanuddin, 2015.

Akmal, Nur dkk. "Pengaruh Magnetik Fe<sub>3</sub>O<sub>4</sub> pada Serbuk Karbon Terhadap Tingkat Penyerapan Limbah Logam Fe". *JOM FMIPA* 1, no. 2 (2014): h. 185 – 192.

Anshori, Al Jamaluddin. *Spektrometri Serapan Atom*. Padjadjaran: FMIPA UNPAD, 2005.

Andika, I Made Dupi dkk. "Adsorpsi dan Desorpsi Cr(IV) pada Adsorben Batu Cadas Karangasem Hasil Limbah Kerajinan Candi Bali Teraktivasi NaOH dan bersalut Fe(OH)<sub>3</sub>". *Jurnal Kimia* 10, no. 1 (2016): h. 125 – 132.

Ardiansyah, Arie. "Sintesis Nanosilika dengan Metode Sol-gel dan Uji Hidrofobitasnya pada Cat Akrilik". *Skripsi*. Semarang : Fakultas MIPA Universitas Negeri Semarang, 2015.

Asip, Faisal dkk. "Uji Efektifitas Cangkang Telur Dalam Mengadsorpsi Ion Fe dengan Proses Batch". *Jurnal Teknik Kimia* 15, no. 2 (2008): h. 22-26.

Astuti, Aso Putri Inayatul Hasanah. " Pengaruh Waktu Pemanasan Terhadap Sintesis Nanopartikel Fe<sub>3</sub>O<sub>4</sub>" . *Jurnal Ilmu Fisika* 4, no. 1 (2012): h. 20-25.

Basset, J, dkk. *Vogel's Textbook Of Quantitative Inorganic Analysis Including*, terj. A. Handayana P dan L. Setiono, Buku ajar Vogel: Kimia Kuantitatif Anorganik. Jakarta: EGC, 1994.

Bintang, Maria. *Biokimia Teknik Penelitian*. Jakarta: Erlangga, 2010.

Budiyono dan Siswo Sumardiono. *Teknik Pengolahan Air*. Yogyakarta: Graha Ilmu, 2013.

Cahyady, Bobby. "Studi Tentang Kesensitifan Spektrofotometer Serapan Atom (SSA) Teknik Vapour Hydride Generation accessories (VHGA) Dibandingkan Dengan SSA Nyala pada Analisa Unsur Arsen (As) Yang Terhadap Dalam Air Minum". *Tesis*. Medan: Sekolah Pascasarjana Universitas Sumatera Utara, 2009.

Dogra, S.K. *Physical Chemistry Through Problems*, terj. Umar Mansyur, *Kimia Fisik dan Soal-Soal*. Jakarta : UI-Press, 2013.

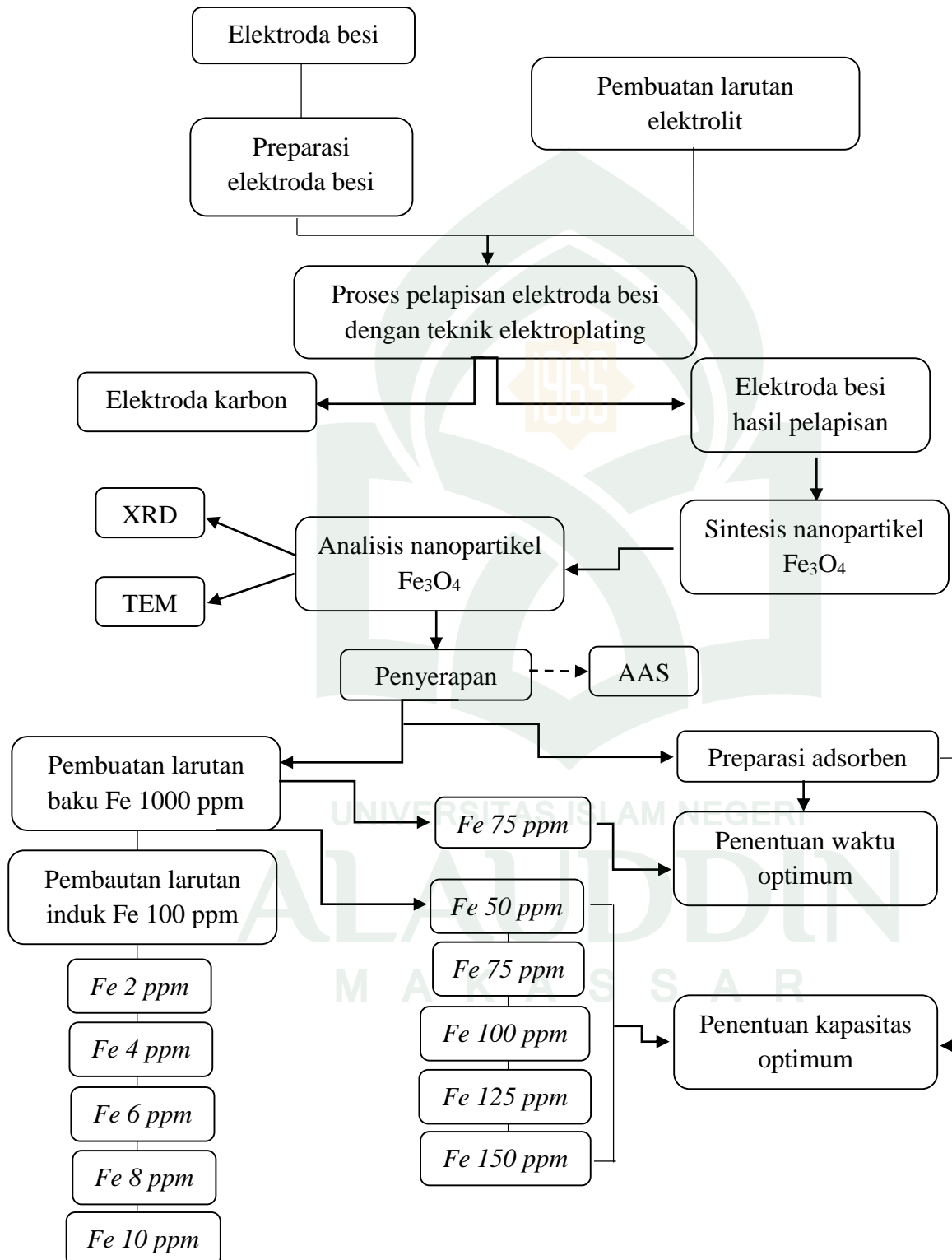
Elzey, Sherrie Renee. "Applications and Physicochemical Characterization of Nanomaterials In Environmental, Health, and Safety Studies." *Ph D (Doctor of Philosophy) thesis*, University of Iowa, 2010.

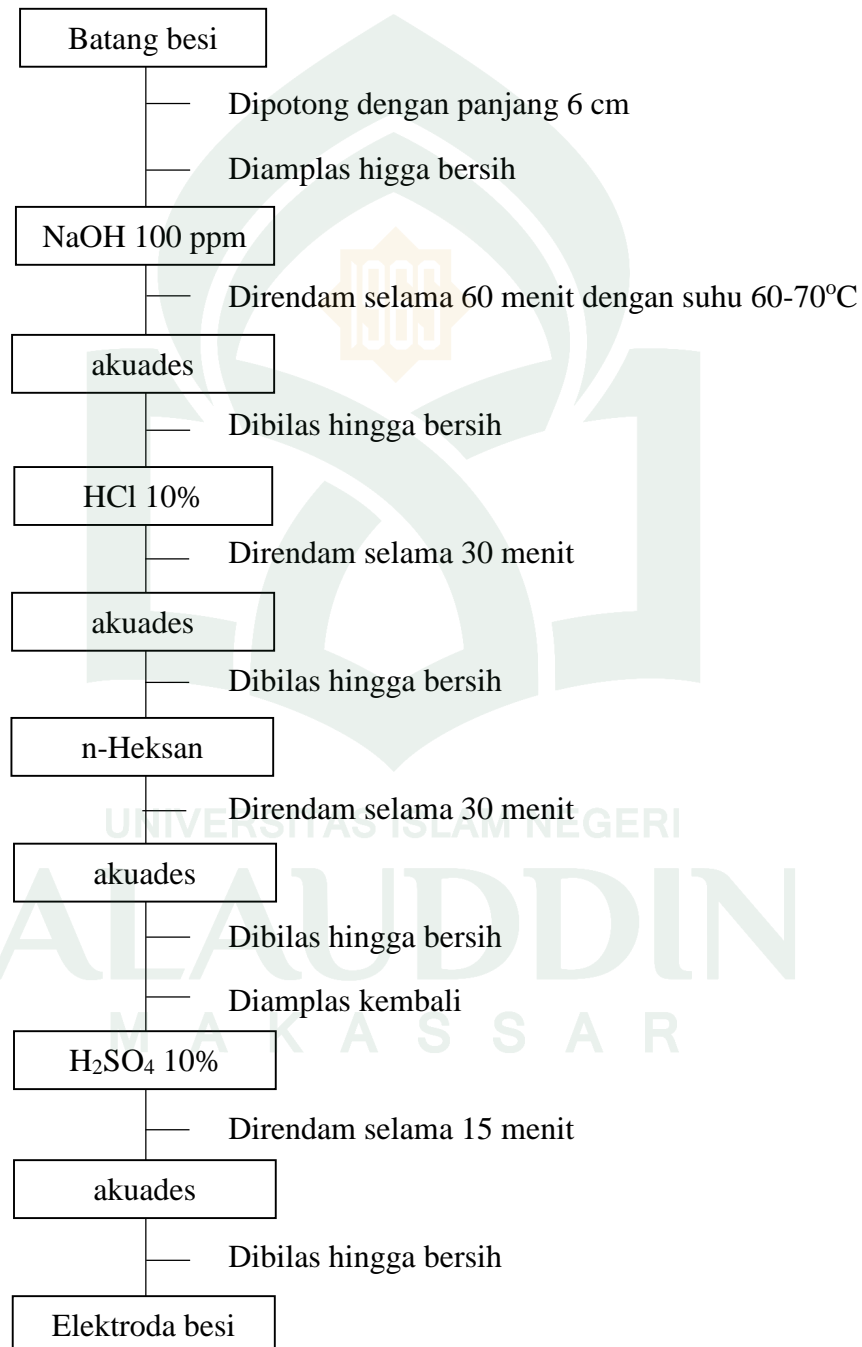
- Fajaroh, Fauziatul dkk. "Stabilisasi Nanopartikel Magnetit Hasil Sintesis dengan Metode Elektrokimis Melalui Pelapisan Siliksa Secara In-Situ", *Seminar Rekayasa Kimia dan Proses*, ISSN : 1411-4216 (2010): h. 1-6.
- Fajaroh, Fauziatul, dkk. "Synthesis of Magnetite Nanoparticles by Surfactant-Free Electrochemical Method in an Aqueous System", *Advanced Powder Technology* (2011): h. 1-6.
- Fridawati, Mika. "Analisis Struktur Kristal dari Lapisan Tipis Aluminium (Al) dengan Metode Difraksi Sinak-X". *Skripsi*. Yogyakarta: Universitas Sanata Dharma, 2008.
- Furqon, Naufal Gati dan Sulistijono. "Pengaruh Densitas Arus dan Waktu Kontak Efektif Elektrolit Gel terhadap Ketebalan dan Kekuatan Lekat Lapisan Krom Pada Baja dengan Metode Elektroplating", *Jurnal Teknik* 5, no.1 (2015): h 134-139.
- Haris, L.A. "Polymer Stabilized Magnetite Nanoparticles and Poly(propylene oxide) Modified Styrene-Dimethacrylate Networks". Virginia Polytechnic Institute and State University, Virginia, 2002.
- Harmayani, Kadek Diana dan I G. M. Konsukartha. "Pencemaran Air Tanah Akibat Pembuangan Limbah Domestik Di Lingkungan Kumuh", *Jurnal Permukiman Tanah* 5, no. 2 (2007): h. 92-102.
- Hidayah, Nur dkk. "Adsorpsi Logam besi (Fe) Sungai Barito Menggunakan Adsorben dari Batang Pisang". *Konversi* 1, no. 1 (2012): h. 19 – 26.
- Januarita, Ayunda Wahyuning dkk. "Sintesa Nanopartikel Magnetite dengan Metode Elektrokimia". *Seminar Rekayasa Kimia dan Proses*. ISSN: 1411-4216 (2010): h. 1-7.
- Jonal, La. "Pengaruh Frekuensi Gelombang Ultrasonik Terhadap Struktur Kristal dan Sifat Magnetit Nano Partikel Magnetit (Fe<sub>3</sub>O<sub>4</sub>)". *Skripsi*. Yogyakarta: Fakultas Sains dan Teknologi Universitas Islam Negeri Sunan Kalijaga Yogyakarta, 2014.
- Kacaribu, Kumpulan. "Kandungan Kadar Seng (Zn) dan Besi (Fe) Dalam Air Minum Dari Depot Air Minum Isi Ulang Air Pegunungan Sibolangit Di Kota Medan", *Tesis*. Sumatra Utara: Pascasarjana Universitas Sumatra Utara, 2008.
- Khopkar, SM. *Basic Concept Of Analytical Chemistry*, terj. A. Saptprahardjo. *Konsep Dasar Kimia Analitik*. Jakarta: UI Press, 2010.
- Krisnawan, Aris. "Karakterisasi Sampel Paduan Magnesium Jenis A29 1D dengan Berbagai Variasi Waktu Milling Menggunakan X-Ray Fluorescence (XRF) Dan Difraksi (XRD)". *Skripsi*. Jakarta : Fakultas Sains dan Teknologi UIN Syarif Hidayatullah, 2009.
- Kwartiningsih, Endang, dkk. "Transfer Massa Pada Limbah Elektroplating Menggunakan Eceng Gondok Sebagai Adsorben". *Ekuilibrum* 9, no. 1 (2010): h. 35-40.

- Larasati, Andita Intan dkk. "Efektivitas Adsorpsi Logam Berat Pada Air Lindi Menggunakan Media Karbon Aktif, Zeolit dan Silika Gel Di TPA Tlekung, Batu", *Jurnal Sumberdaya Alam dan Lingkungan* 2, no. 1 (2013): h. 44-48.
- Lestari, Yuliani Tri. "Pemanfaatan Limbah Abu Terbang (*Fly Ash*) Batubara Sebagai Adsorben untuk Penentuan Kadar Gas NO<sub>2</sub> di Udara". *Skripsi*. Jember : FMIPA Universitas Jember, 2013.
- Mahmuda, Diah dkk. "Adsorpsi Logam Tembaga (Cu), Mangan (Mn) dan Nikel (Ni) dalam *Artifical* Limbah Cair dengan Menggunakan Nanopartikel Magnetit (Fe<sub>3</sub>O<sub>4</sub>)", *Indonesian Journal of Applied Physics* 4, no. 2 (2014): h. 126-133.
- Manurung, Posman. "Difraktogram sinar-X dan Mikrostruktur Timah Dioksida dengan penambahan Fe". *Jurnal Ilmu Dasar* 12, no. 1(2011): h. 91-96.
- Maylani, Amanda Shinta. "Preparasi Nanopartikel Fe<sub>3</sub>O<sub>4</sub> (Magnetit) serta aplikasinya sebagai adsorben ion logam kadmium". *Skripsi*. Semarang : FMIPA Universitas Negeri Semarang, 2015.
- Nurdila, Femila Amor dkk. "Adsorpsi Logam Tembaga (Cu), Besi (Fe) dan Nikel (Ni) dalam Limbah Cair Buatan Menggunakan Nanopartikel *Cobalt Ferrite* (CoFe<sub>2</sub>O<sub>4</sub>)", *Jurna Fisika Indonesia* XIX, no. 55 (2015): h. 23-27.
- Putra, Etana Dhafid dkk. "Studi Penurunan Kadar Logam Besi (Fe) pada Limbah Batik dengan Sistem Purifikasi Menggunakan Adsorben Nanopartikel Magnetic (Fe<sub>3</sub>O<sub>4</sub>)". *Prosiding Pertemuan Ilmiah XXVIII HFT Jateng & DIY*. ISSN: 0853-0823 (2014): h. 250-252.
- Rahmadani, Melvira. "Sintesis dan Karakteristik Nanopartikel Magnetit (Fe<sub>3</sub>O<sub>4</sub>) Berbasis Batuan Besi". *Skripsi*. Padang : Fakultas Matematika dan Ilmu Pengetahuan Alam Universitas Andalas, 2011.
- Rahmawati, Fitria. *Elektrokimia Transformasi energy Kimia-Listrik*. Yogyakarta: Graha Ilmu, 2013.
- Ridwan dan Azwar Manaf. "Pengembangan Nanopartikel Untuk pengolahan Limbah Cair", *Jurnal Sains Materi Indonesia*, ISSN: 1411-1098 (2009): h. 1-8.
- Riwayati, I. "Analisis Resiko Pengaruh Partikel Nano Terhadap Kesehatan Manu", *Jurnal Momentum* 3, no. 2 (2007): h. 17-20.
- Riwayati, I. "Pemanfaatan Teknologi Nano di Dalam Industri Pengolahan Bahan Makanan", *Jurnal Momentum* 3, no. 2 (2007) h. 1-4.
- Riyanto. *Elektrokimia dan Aplikasinya*. Yogyakarta: Graha Ilmu, 2013.
- Riyanto, Agus dkk. "Analisis Struktur Kristal dan Sifat Magnetik pada Nanaopartikel Magnetit (Fe<sub>3</sub>O<sub>4</sub>) sebagai bahan aktif *Surface Plasmon Resonance* (SPR)", *Prosiding Pertemuan Ilmiah XXVI HFI Jateng & DIY*, ISSN: 0853-823 (2012): h. 203-207.
- Sartika, Dewi dkk. "Studi Penurunan Kadar Logam Fe dan Co pada Limbah Cair dengan Sistem Purifikasi Berbasis Adsorben Nanopartikel Magnetik Fe<sub>3</sub>O<sub>4</sub>". *Jurnal Fisik Indonesia* XVIII, no. 52 (2014) : h. 16-19.
- Shihab, M. Quraish. *Tafsir Al-Misbah Volume 1 dan 10*. Ciputat: Lentera Hati, 2009.

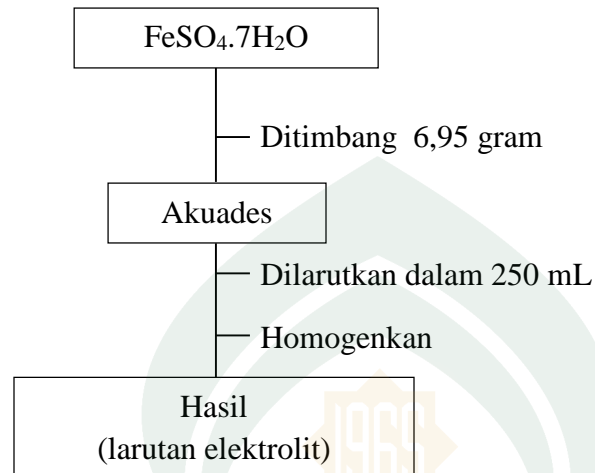
- Sholihah, Lia Kurnia. "Sintesis dan Karakteristik Partikel Nano  $\text{Fe}_3\text{O}_4$  yang Berasal dari Pasir Besi dan  $\text{Fe}_3\text{O}_4$  Bahan Komersial (Aldrich)", (2010) : h. 1-15.
- Sidiq, M. Fajar. "Analisa Korosi dan Pengendaliannya", *Jurnal Foundry* 3, no. 1 (2013) : h. 25-30.
- Sugiyarto, Kristian H. *Dasar-dasar Kimia Anorganik Transisi*. Yogyakarta: Graha Ilmu, 2012.
- Sugiyarto, Kristian H dan Retno D Suyanti. *Kimia Anorganik Logam*. Yogyakarta: Graha Ilmu, 2010.
- Sukardjo. *Kimia Fisika*. Yogyakarta: Bina Aksara, 2002.
- Sunarya, Yayan. *Kimia Dasar 2*. Bandung : Yrama Widya, 2012.
- Syauqiah, Isna dkk. "Analisis Variasi Waktu dan Kecepatan Pengaduk pada Proses Adsorpsi Limbah Logam Berat dengan Arang Aktif". *Jurnal Info Teknik* 13, no. 1 (2011): h. 11-20.
- Wahyudi, Yoyok dan A'rasy Fahrudin. " Galvanis Elektroplating dengan Hot Dip Galvanizing Terhadap Ketahanan Korosi dan Kekerasan pada Baja". *Jurnal Teknik mesin* 4, no. 1 (2015): h. 35 – 39.
- Widowati, Wahyu dkk. *Efek Toksik Logam*. Yogyakarta: ANDI, 2008.
- Waseda, Yoshio dkk. *X-Ray Diffraction Crystallography*. London: Spinger, 2011.
- Young, Hugh D dan Roger A. Freedman. *University Physics Tenth Edition*, terj. Amalia Safitri. *Fisika Universitas Edisi Kesepuluh Jilid 2*. Jakarta: Erlangga, 2004.
- Zulfa, Aditya. "Uji Adsorpsi Gas Karbon Monoksida (CO) Menggunakan Zeolit Alam Malang dan Lampung". *Skripsi*. Depok: Fakultas Teknik Universitas Indonesia, 2011.

### LAMPIRAN I: Skema Penelitian



**LAMPIRAN 2 : Skema kerja****1. Sintesis nanopartikel magnetit ( $\text{Fe}_3\text{O}_4$ ) secara elektrolisis****a. Elektroplating Besi****(1) Preparasi elektroda besi**

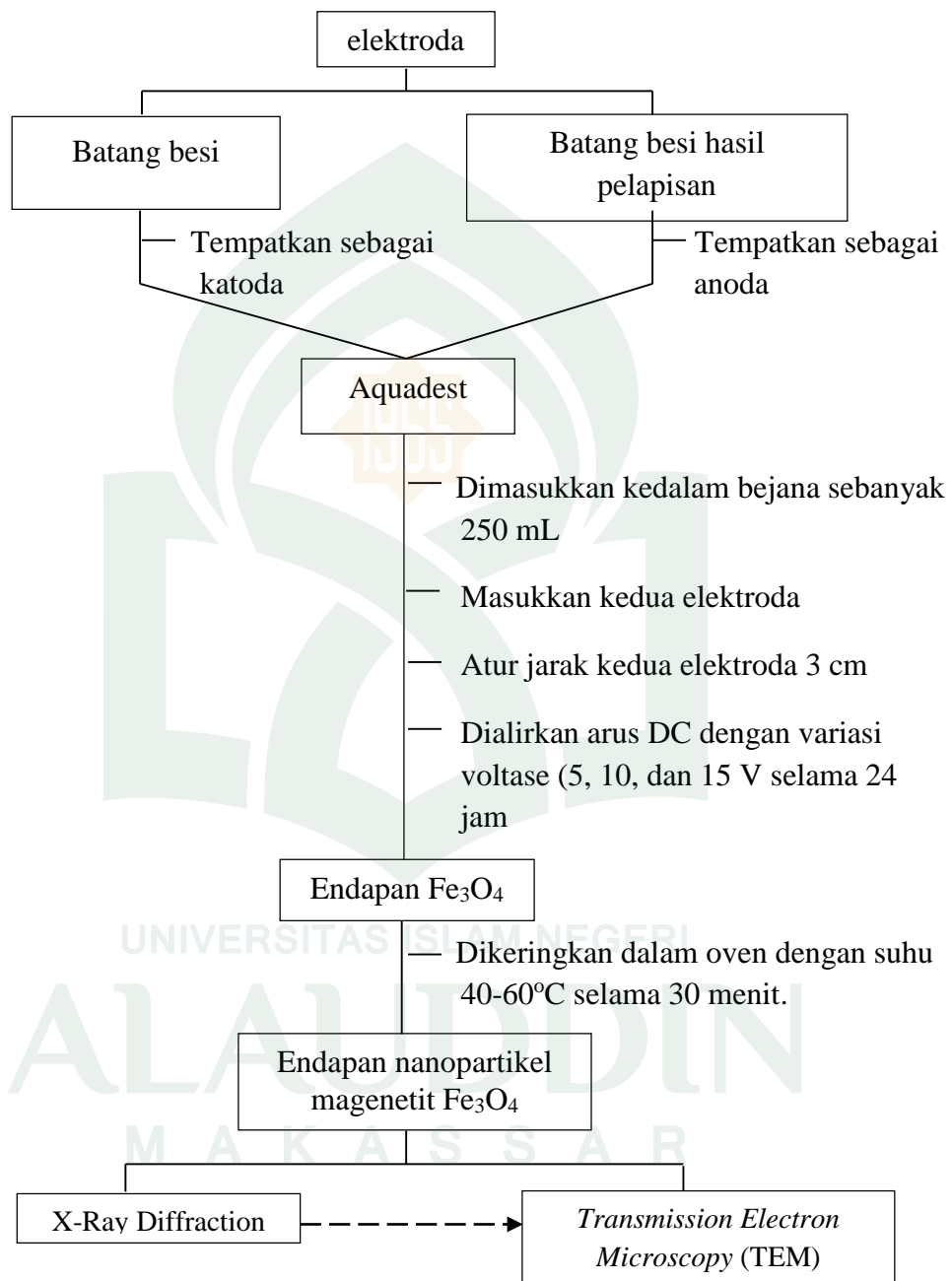
**(2) Pembuatan larutan elektrolit  $\text{FeSO}_4$  0,1 M**



**(3) Pelapisan elektroda besi dengan teknik elektroplating**

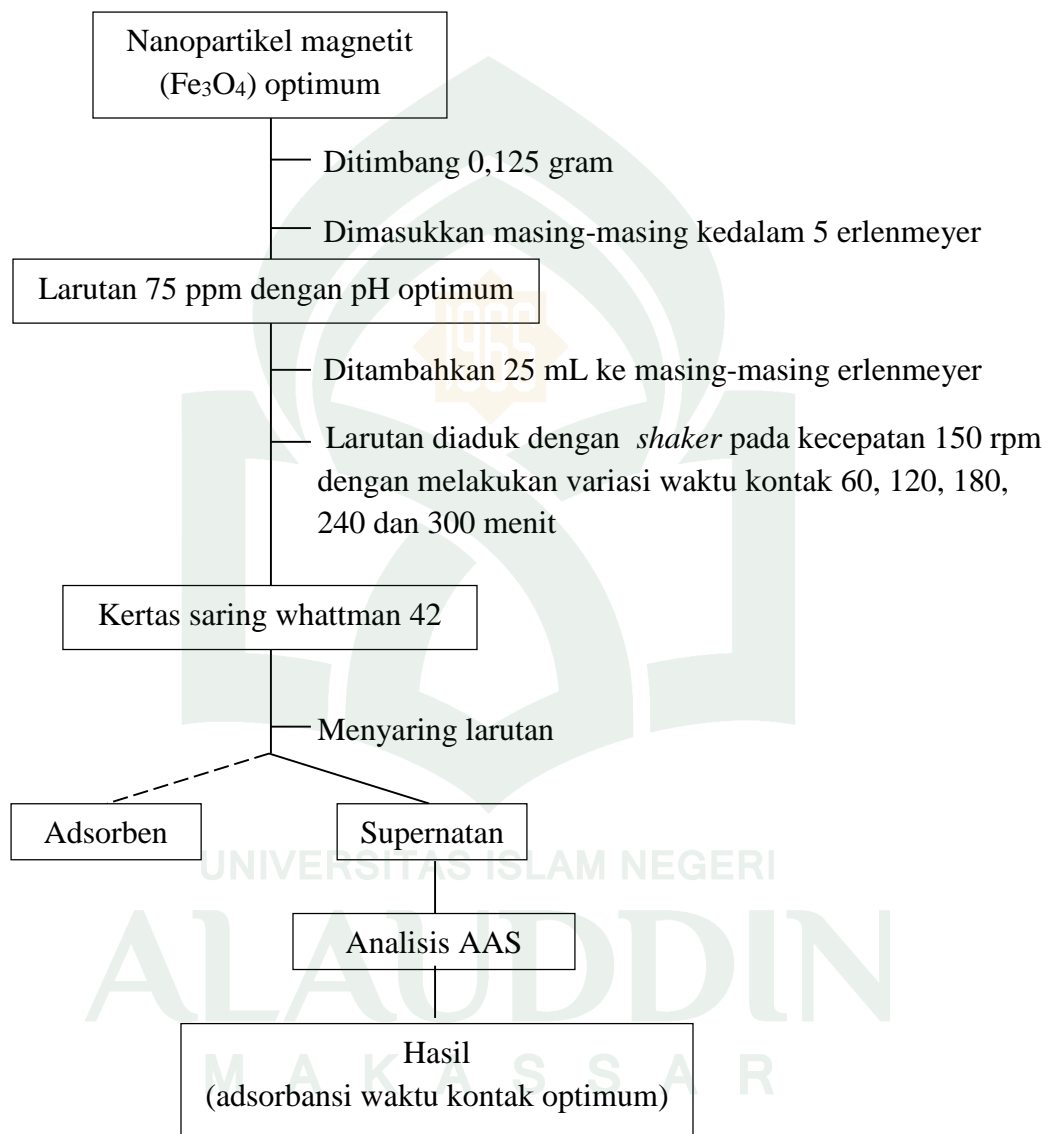


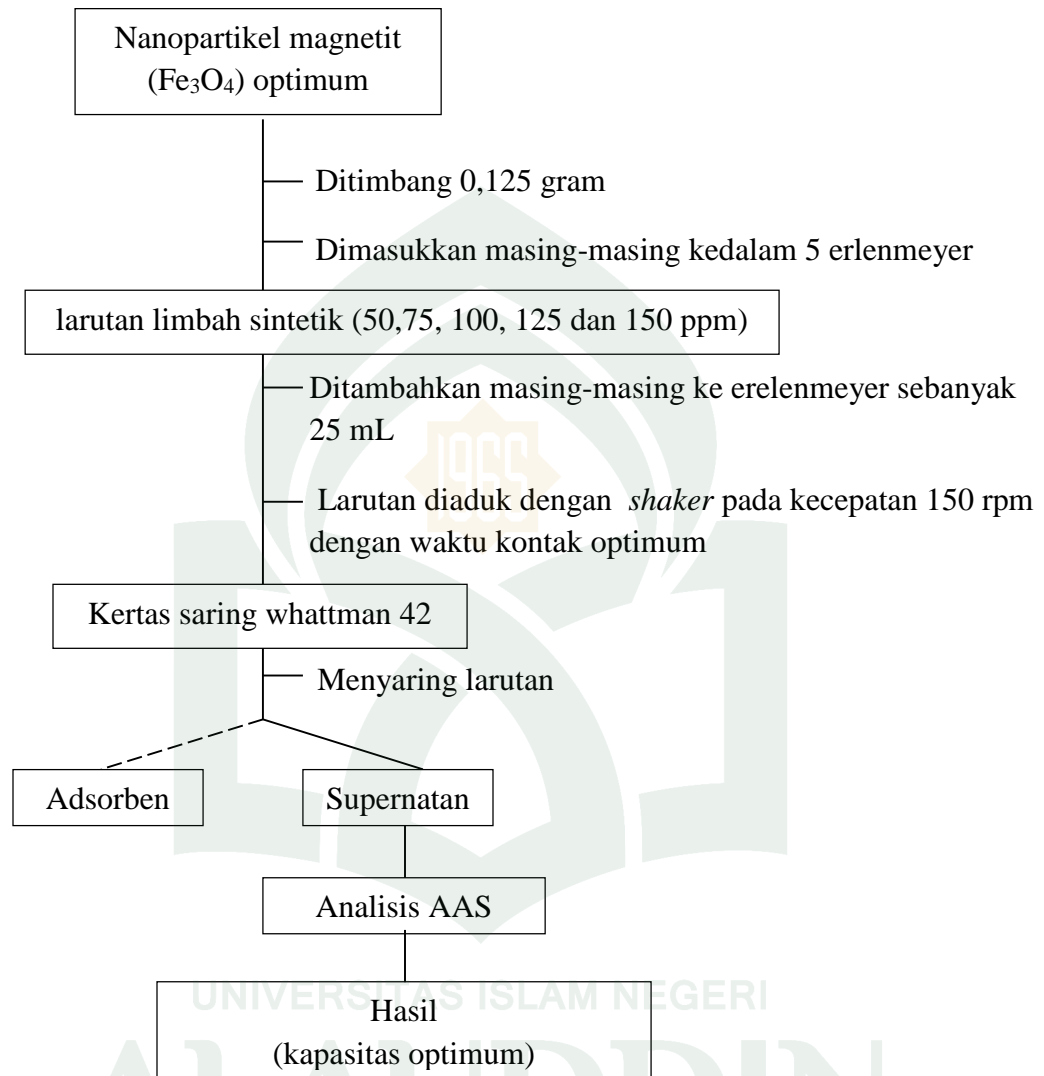
**b. Sintesis nanopartikel magneti ( $\text{Fe}_3\text{O}_4$ ) secara elektrolisis terhadap variasi tegangan**



## 2. Uji adsorpsivitas nanopartikel magnetit ( $\text{Fe}_3\text{O}_4$ ) pada ion logam besi (Fe)

### a. Penentuan persentase ion logam Fe teradsorpsi terhadap variasi waktu kontak

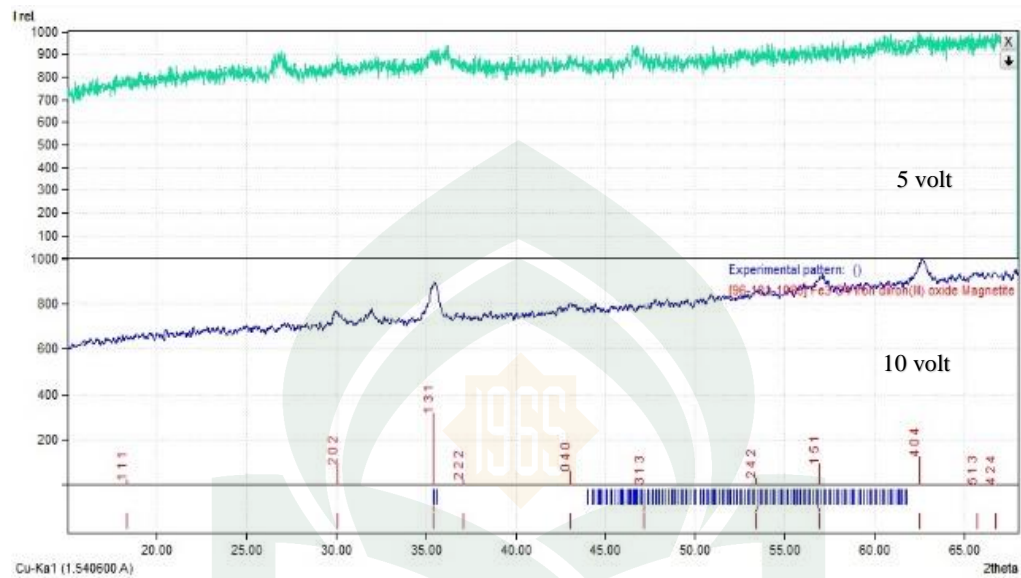


**b. Penentuan persentase ion logam Fe teradsorpsi terhadap variasi konsentrasi**

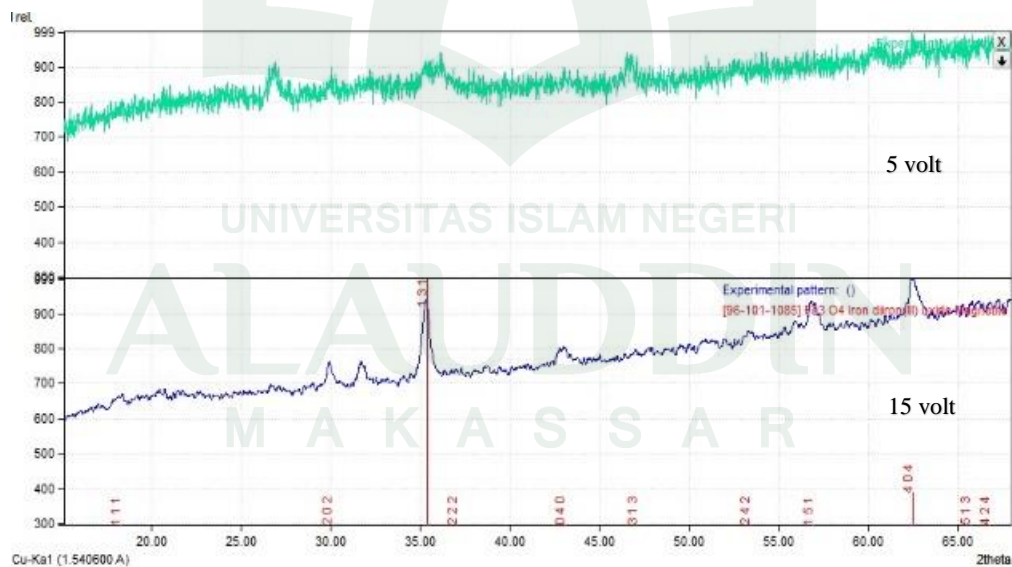
**Lampiran 3 : Hasil analisis XRF batang besi**

No	Komponen	(% berat)
1	Fe	61.73
2	Mg	13.18
3	Mn	1.23
4	Ca	0.762
5	K	0.726
6	Px	0.162
7	Cu	0.124
8	Ni	0.0285
9	Zn	0.0193
10	Nb	0.0138
11	Sn	0.0143
12	Mo	0.0100
13	Ru	0.0040

#### Lampiran 4 : Difraktogram hasil analisis XRD nanopartikel $\text{Fe}_3\text{O}_4$



a. Difraktogram perbandingan 5 volt dan 10 volt



b. Difraktogram perbandingan 5 volt dan 15 volt



## Lampiran 5 : Perhitungan diameter nanopartikel dengan tegangan 10 volt

### a. Data analisis XRD

**Tabel 1** Data analisis XRD Nanopartikel Magnetite Fe<sub>3</sub>O<sub>4</sub> dengan tegangan 10 volt

No	Theta ( $\theta$ ) (deg)	FWHM (match)	FWHM (inst)
1.	35,38	0,3000	0,69810
2.	56,87	0,1766	0,78000
3.	47,18	0,2981	0,71000
4.	62,61	0,1000	0,80970

Keterangan :

Theta ( $\theta$ ) (deg) : sudut bragg

FWHM (match) : lebar puncak difraksi sampel

FWHM (inst) : lebar puncak difraksi sampel

### b. Analisis data

Persamaan Scherrer :

$$D = \frac{k \cdot \lambda}{\beta \cos \theta}$$

K = 0,98 tetapan Bragg

$\lambda = 1,5406 \text{ \AA}$

$\beta$  = nilai FWHM

$\theta$  = sudut puncak

dimana,  $\beta = \sqrt{(FWHM_{inst})^2 - (FWHM_{match})^2}$

#### 1. Data 1

$$\beta = \sqrt{(FWHM_{inst})^2 - (FWHM_{match})^2}$$

$$\beta = \sqrt{(0,69810)^2 - (0,3000)^2}$$

$$\beta = \sqrt{0,3973}$$

$$\beta = 0,6303$$

maka,

$$D = \frac{k \cdot \lambda}{\beta \cos \theta}$$

$$D = \frac{0,98 \times 1,5406 \text{ \AA}}{0,6303 \times \cos 35,38}$$

$$D = \frac{1,5097 \text{ \AA}}{0,5139}$$

$$D = 2,937 \text{ \AA} = 29,37 \text{ nm}$$

2. Data 2

$$\beta = \sqrt{(FWHM_{inst})^2 - (FWHM_{match})^2}$$

$$\beta = \sqrt{(0,78000)^2 - (0,1766)^2}$$

$$\beta = \sqrt{0,5772}$$

$$\beta = 0,7597$$

maka,

$$D = \frac{k \cdot \lambda}{\beta \cos \theta}$$

$$D = \frac{0,98 \times 1,5406 \text{ \AA}}{0,7597 \times \cos 56,87}$$

$$D = \frac{1,5097 \text{ \AA}}{0,4152}$$

$$D = 3,636 \text{ \AA} = 36,36 \text{ nm}$$

3. Data 3

$$\beta = \sqrt{(FWHM_{inst})^2 - (FWHM_{match})^2}$$

$$\beta = \sqrt{(0,71000)^2 - (0,2961)^2}$$

$$\beta = \sqrt{0,4164}$$

$$\beta = 0,6452$$

maka,

$$D = \frac{k \cdot \lambda}{\beta \cos \theta}$$

$$D = \frac{0,98 \times 1,5406 \text{ \AA}}{0,6452 \times \cos 47,18}$$

$$D = \frac{1,5097 \text{ \AA}}{0,4385}$$

$$D = 3,442 \text{ \AA} = 34,42 \text{ nm}$$

4. Data 4

$$\beta = \sqrt{(FWHM_{inst})^2 - (FWHM_{match})^2}$$

$$\beta = \sqrt{(0,80970)^2 - (0,1000)^2}$$

$$\beta = \sqrt{0,6456}$$

$$\beta = 0,8035$$

maka,

$$D = \frac{k \cdot \lambda}{\beta \cos \theta}$$

$$D = \frac{0,98 \times 1,5406 \text{ \AA}}{0,8035 \times \cos 62,61}$$

$$D = \frac{1,5097 \text{ \AA}}{0,3696}$$

$$D = 4,084 \text{ \AA} = 40,84 \text{ nm}$$

5. Diameter rata-rata

$$\bar{D} = \frac{29,37 + 36,36 + 34,42 + 40,84 \text{ nm}}{4} = 35,24 \text{ nm}$$

## Lampiran 6 : Perhitungan diameter nanopartikel dengan tegangan 15 volt

### a. Data analisis XRD

**Tabel 2** Data analisis XRD Nanopartikel Magnetite Fe<sub>3</sub>O<sub>4</sub> dengan tegangan 15 volt

No	Theta (deg)	FWHM (match)	FWHM (inst)
1.	29,97	0,3000	0,62270
2.	35,33	0,3000	0,63330
3.	62.47	0,1000	0,80000
4.	56.84	0,1000	0,67670

Keterangan :

Theta ( $\theta$ ) (deg) : sudut bragg

FWHM (match) : lebar puncak difraksi sampel

FWHM (inst) : lebar puncak difraksi sampel

### c. Analisis data

Persamaan Scherrer :

$$D = \frac{k \cdot \lambda}{\beta \cos \theta}$$

K = 0,98 tetapan Bragg

$\lambda = 1,5406 \text{ \AA}$

$\beta$  = nilai FWHM

$\theta$  = sudut puncak

dimana,  $\beta = \sqrt{(FWHM_{inst})^2 - (FWHM_{match})^2}$

#### 1. Data 1

$$\beta = \sqrt{(FWHM_{inst})^2 - (FWHM_{match})^2}$$

$$\beta = \sqrt{(0,62270)^2 - (0,3000)^2}$$

$$\beta = \sqrt{0,2977}$$

$$\beta = 0,5456$$

maka,

$$D = \frac{k \cdot \lambda}{\beta \cos \theta}$$

$$D = \frac{0,98 \times 1,5406 \text{ \AA}}{0,5456 \times \cos 29,97}$$

$$D = \frac{1,5097 \text{ \AA}}{0,4726}$$

$$D = 3,365 \text{ \AA} = 33,65 \text{ nm}$$

2. Data 2

$$\beta = \sqrt{(FWHM_{inst})^2 - (FWHM_{match})^2}$$

$$\beta = \sqrt{(0,63330)^2 - (0,30000)^2}$$

$$\beta = \sqrt{0,3111}$$

$$\beta = 0,5577$$

maka,

$$D = \frac{k \cdot \lambda}{\beta \cos \theta}$$

$$D = \frac{0,98 \times 1,5406 \text{ \AA}}{0,5577 \times \cos 35,33}$$

$$D = \frac{1,5097 \text{ \AA}}{0,4549}$$

$$D = 3,496 \text{ \AA} = 34,96 \text{ nm}$$

3. Data 3

$$\beta = \sqrt{(FWHM_{inst})^2 - (FWHM_{match})^2}$$

$$\beta = \sqrt{(0,8000)^2 - (0,1000)^2}$$

$$\beta = \sqrt{0,63}$$

$$\beta = 0,7937$$

maka,

$$D = \frac{k \cdot \lambda}{\beta \cos \theta}$$

$$D = \frac{0,98 \times 1,5406 \text{ \AA}}{0,7937 \times \cos 35,33}$$

$$D = \frac{1.5097 \text{ \AA}}{0,3667}$$

$$D = 4,124 \text{ \AA} = 41,24 \text{ nm}$$

4. Data 4

$$\beta = \sqrt{(FWHM_{inst})^2 - (FWHM_{match})^2}$$

$$\beta = \sqrt{(0,67670)^2 - (0,1000)^2}$$

$$\beta = \sqrt{0,4479}$$

$$\beta = 0,6692$$

maka,

$$D = \frac{k \cdot \lambda}{\beta \cos \theta}$$

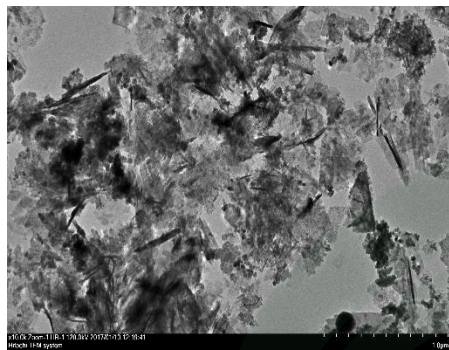
$$D = \frac{0,98 \times 1,5406 \text{ \AA}}{0,6692 \times \cos 56,84}$$

$$D = \frac{1.5097 \text{ \AA}}{0,3654}$$

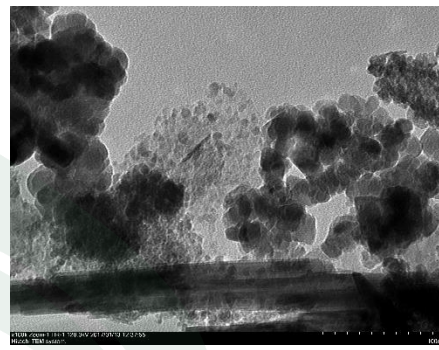
$$D = 4,131 \text{ \AA} = 41,31 \text{ nm}$$

5. Diameter rata-rata

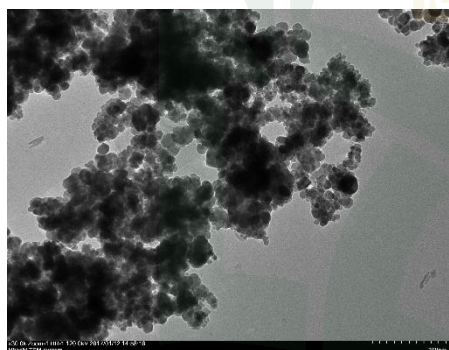
$$\bar{D} = \frac{33,65 + 34,96 + 41,24 + 41,31}{4} = 37,79 \text{ nm}$$

**Lampiran 7 : Hasil analisis TEM nanopartikel Fe<sub>3</sub>O<sub>4</sub>**

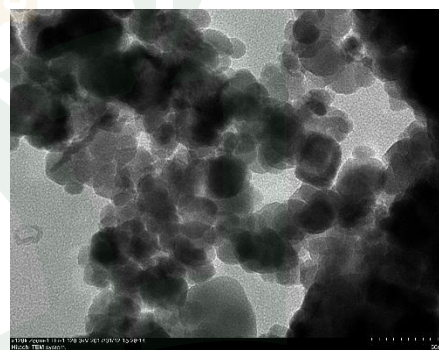
5 volt pembesaran 1 μm



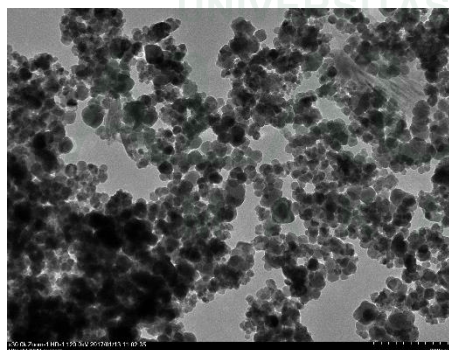
5 volt pembesaran 100 nm



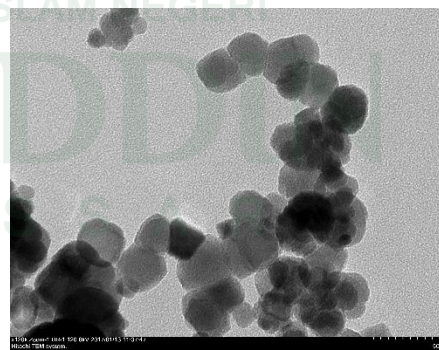
10 volt pembesaran 200 nm



10 volt pembesaran 50 nm



15 volt pembesaran 200 nm



15 volt pembesaran 50 nm

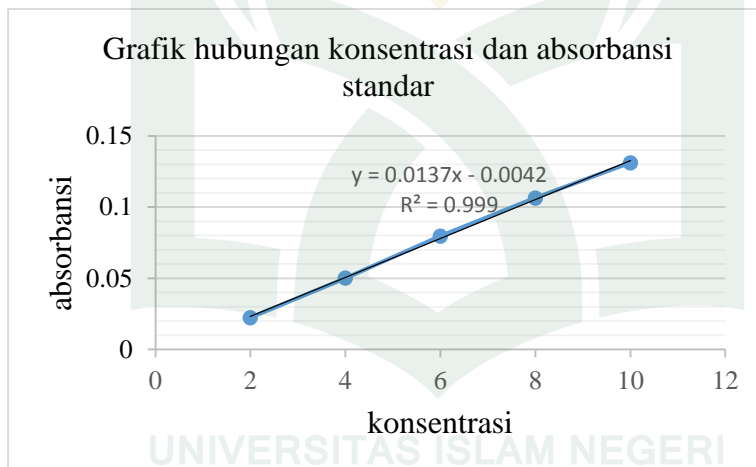
## Lampiran 8 : Data perhitungan variasi waktu kontak

### a. Data standarisasi

#### 1. Standar

Konsentrasi (x)	Absorbansi (y)	$x^2$	$y^2$	$x \cdot y$
2 ppm	0.0249	4	0.00062	0.0498
4 ppm	0.0524	16	0.00274	0.2096
6 ppm	0.0835	36	0.00697	0.5010
8 ppm	0.1098	64	0.01205	0.8784
10 ppm	0.1331	100	0.01771	1.3310
$\Sigma = 30$	0.4037	220	0.04011	2.9698

#### 2. Grafik



### b. Analisis data

#### 1. Persamaan garis linear

$$y = a + bx$$

Nilai b

$$b = \frac{n \sum xy - \sum x \sum y}{n \sum x^2 - (\sum x)^2}$$

$$b = \frac{5 \times 2,9698 - 30 \times 0,4037}{5 \times 220 - (30)^2}$$

$$b = \frac{14,849 - 12,111}{1100 - 900}$$

$$b = \frac{2,738}{200}$$

$$b = 0,01369$$

Nilai a

$$a = y_{rata-rata} - bx_{rata-rata}$$

$$a = 0,08074 - 0,01369 \times 6$$

$$a = 0,08074 - 0,08214$$

$$a = -0,0014$$

Jadi, persamaan linear yang diperoleh adalah:

$$y = a + bx$$

$$y = -0,0014 + 0,01369x$$

Keterangan:

y= absorbansi sampel

x= konsentrasi besi (Fe) dalam sampel

$$\begin{aligned} R^2 &= \frac{n \sum xy - \sum x \sum y}{\sqrt{((n \sum x^2) - (\sum x)^2)((n \sum y^2) - (\sum y)^2)}} \\ &= \frac{5 \times 2,9698 - 30 \times 0,4037}{\sqrt{((5 \times 220) - (30)^2)((5 \times 0,04011) - (0,4037)^2)}} \\ &= \frac{14,849 - 12,111}{\sqrt{7,52}} \\ &= \frac{2,738}{2,742} \end{aligned}$$

$$R^2 = 0,9985$$

## 2. Konsentrasi besi (Fe) dalam sampel pada pengaturan waktu kontak

1) Menit ke 60

$$y = a + bx$$

$$x = \frac{y - a}{b}$$

$$= \frac{0,0068 - (-0,0014)}{0,01369}$$

$$= \frac{0,0082}{0,01369}$$

$$= 0,598$$

2) Menit ke 120

$$x = \frac{y - a}{b}$$

$$= \frac{0,0087 - (-0,0014)}{0,01369}$$

$$= \frac{0,0101}{0,01369}$$

$$= 0,738$$

3) Menit ke 180

$$x = \frac{y - a}{b}$$

$$= \frac{0,0124 - (-0,0014)}{0,01369}$$

$$= \frac{0,0138}{0,01369}$$

$$= 1,008$$

4) Menit ke 240

$$\begin{aligned} x &= \frac{y - a}{b} \\ &= \frac{0,0137 - (-0,0014)}{0,01369} \\ &= \frac{0,0151}{0,01369} \\ &= 1.103 \end{aligned}$$

5) Menit ke 300

$$\begin{aligned} x &= \frac{y - a}{b} \\ &= \frac{0,0418 - (-0,0014)}{0,01369} \\ &= \frac{0,0432}{0,01369} \\ &= 3.155 \end{aligned}$$

3. Kapasitas adsorpsi untuk setiap parameter waktu kontak

$$q_e = \frac{(C_o - C_e) V}{W_a}$$

Keterangan : UNIVERSITAS ISLAM NEGERI

$q_e$  : kapasitas adsorpsi

$C_o$  : konsentrasi awal

$C_e$  : konsentrasi akhir

$V$  : volume larutan

$W_a$  : berat adsorben

1) 60 Menit

$$q_e = \frac{(C_o - C_e) V}{W_a}$$

$$q_e = \frac{\left(75 \frac{mg}{L} - 0,5668 \frac{mg}{L}\right) 0,025 L}{0,125 g}$$

$$q_e = \frac{74,4332 \frac{mg}{L} \times 0,025 L}{0,125 g}$$

$$q_e = 14,88 \text{ mg/g}$$

2) 120 menit

$$q_e = \frac{(C_o - C_e) V}{W_a}$$

$$q_e = \frac{\left(75 \frac{mg}{L} - 0,7079 \frac{mg}{L}\right) 0,025 L}{0,125 g}$$

$$q_e = \frac{74,2921 \frac{mg}{L} \times 0,025 L}{0,125 g}$$

$$q_e = 14,86 \text{ mg/g}$$

3) 180 menit

$$q_e = \frac{(C_o - C_e) V}{W_a}$$

$$q_e = \frac{\left(75 \frac{mg}{L} - 0,9759 \frac{mg}{L}\right) 0,025 L}{0,125 g}$$

$$q_e = \frac{74,0241 \frac{mg}{L} \times 0,025 L}{0,125 g}$$

$$q_e = 14,80 \text{ mg/g}$$

4) 240 menit

$$q_e = \frac{(C_o - C_e) V}{W_a}$$

$$q_e = \frac{\left(75 \frac{mg}{L} - 1,0775 \frac{mg}{L}\right) 0,025 L}{0,125 g}$$

$$q_e = \frac{73,9225 \frac{mg}{L} \times 0,025 L}{0,125 g}$$

$$q_e = 14,78 \text{ mg/g}$$

5) 300 menit

$$q_e = \frac{(C_o - C_e) V}{W_a}$$

$$q_e = \frac{\left(75 \frac{mg}{L} - 3,1385 \frac{mg}{L}\right) 0,025 L}{0,125 g}$$

$$q_e = \frac{71,8615 \frac{mg}{L} \times 0,025 L}{0,125 g}$$

$$q_e = 14,37 \text{ mg/g}$$

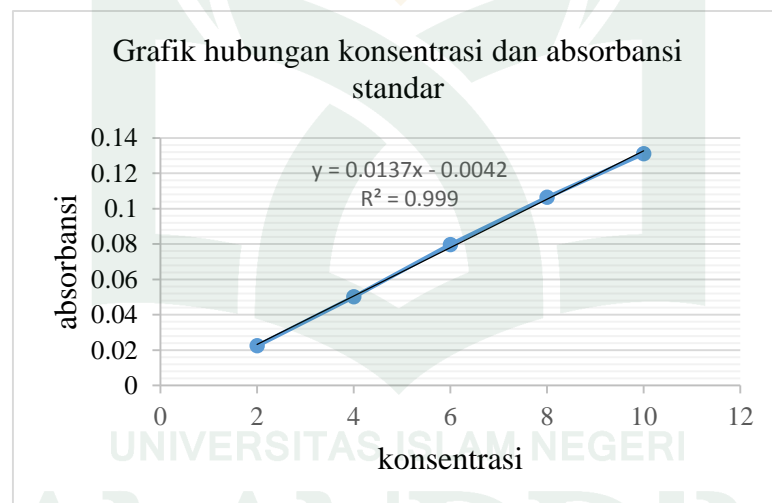
## Lampiran 9 : Data perhitungan variasi konsentrasi

### a. Data standarisasi

#### 1. Standar

Konsentrasi (x)	Absorbansi (y)	$x^2$	$y^2$	$x \cdot y$
2 ppm	0.0224	4	0.000502	0.0448
4 ppm	0.0501	16	0.00251	0.2004
6 ppm	0.0797	36	0.00635	0.4782
8 ppm	0.1064	64	0.01132	0.8512
10 ppm	0.1311	100	0.01718	1.311
$\Sigma = 30$	0.3897	220	0.03787	2.8856

#### 2. Grafik



### b. Analisis data

#### 1. Persamaan garis linear

$$y = a + bx$$

Nilai b

$$b = \frac{n \sum xy - \sum x \sum y}{n \sum x^2 - (\sum x)^2}$$

$$b = \frac{5 \times 2,8856 - 30 \times 0,3897}{5 \times 220 - (30)^2}$$

$$b = \frac{14,428 - 11,691}{1100 - 900}$$

$$b = \frac{2,737}{200}$$

$$b = 0,01368$$

Nilai a

$$a = y_{rata-rata} - bx_{rata-rata}$$

$$a = 0,07794 - 0,01368 \times 6$$

$$a = 0,07794 - 0,08208$$

$$a = -0,00414$$

Jadi, persamaan linear yang diperoleh adalah:

$$y = a + bx$$

$$y = -0,00414 + 0,01368x$$

Keterangan:

$y =$  absorbansi sampel

$x =$  konsentrasi besi (Fe) dalam sampel

$$R^2 = \frac{n \sum xy - \sum x \sum y}{\sqrt{((n \sum x^2) - (\sum x)^2)((n \sum y^2) - (\sum y)^2)}}$$

$$= \frac{5 \times 2,8856 - 30 \times 0,3897}{\sqrt{((5 \times 220) - (30)^2)((5 \times 0,037872) - (0,3897)^2)}}$$

$$= \frac{14,428 - 11,691}{\sqrt{7,5}}$$

$$= \frac{2,737}{2,738}$$

$$R^2 = 0,9996$$

2. Konsentrasi besi (Fe) dalam sampel pada variasi konsntrasi

1) Konsentrasi 50 ppm

$$\begin{aligned}
 y &= a + bx \\
 x &= \frac{y - a}{b} \\
 &= \frac{0,1021 - (-0,00414)}{0,01368} \\
 &= \frac{0,10624}{0,01368} \\
 &= 7,766
 \end{aligned}$$

2) Konsentrasi 75 ppm

$$\begin{aligned}
 x &= \frac{y - a}{b} \\
 &= \frac{0,0927 - (-0,00414)}{0,01368} \\
 &= \frac{0,09684}{0,01368} \\
 &= 7,078
 \end{aligned}$$

3) Konsentrasi 100 ppm

$$\begin{aligned}
 x &= \frac{y - a}{b} \\
 &= \frac{0,0790 - (-0,00414)}{0,01368} \\
 &= \frac{0,08314}{0,01368} \\
 &= 6,077
 \end{aligned}$$

4) Konsentrasi 125 ppm

$$\begin{aligned}
 x &= \frac{y - a}{b} \\
 &= \frac{0,0273 - (-0,00414)}{0,01368} \\
 &= \frac{0,03144}{0,01368} \\
 &= 2,298
 \end{aligned}$$

5) Konsentrasi 150 ppm

$$\begin{aligned}
 x &= \frac{y - a}{b} \\
 &= \frac{0,0191 - (-0,00414)}{0,01368} \\
 &= \frac{0,02324}{0,01368} \\
 &= 1,698
 \end{aligned}$$

3. Kapasitas adsorpsi untuk setiap konsentrasi

$$q_e = \frac{(C_o - C_e) V}{W_a}$$

Keterangan :

$q_e$  : kapasitas adsorpsi

$C_o$  : konsentrasi awal

$C_e$  : konsentrasi akhir

$V$  : volume larutan

$W_a$ : berat adsorben

1) 50 ppm

$$\begin{aligned}
 q_e &= \frac{(C_o - C_e) V}{W_a} \\
 &= \frac{\left(50 \frac{mg}{L} - 7,4881 \frac{mg}{L}\right) 0,025 L}{0,125 g} \\
 q_e &= \frac{42,5119 \frac{mg}{L} \times 0,025 L}{0,125 g} \\
 q_e &= 8,50 \text{ mg/g}
 \end{aligned}$$

2) 75 ppm

$$q_e = \frac{(C_o - C_e) V}{W_a}$$

$$q_e = \frac{\left(75 \frac{mg}{L} - 7,0731 \frac{mg}{L}\right) 0,025 L}{0,125 g}$$

$$q_e = \frac{67,9269 \frac{mg}{L} \times 0,025 L}{0,125 g}$$

$$q_e = 13,58 \text{ mg/g}$$

3) 100 ppm

$$q_e = \frac{(C_o - C_e) V}{W_a}$$

$$q_e = \frac{\left(100 \frac{mg}{L} - 6,0489 \frac{mg}{L}\right) 0,025 L}{0,125 g}$$

$$q_e = \frac{93,9511 \frac{mg}{L} \times 0,025 L}{0,125 g}$$

$$q_e = 18,79 \text{ mg/g}$$

4) 125 ppm

$$q_e = \frac{(C_o - C_e) V}{W_a}$$

$$q_e = \frac{\left(125 \frac{mg}{L} - 2,1766 \frac{mg}{L}\right) 0,025 L}{0,125 g}$$

$$q_e = \frac{122,8234 \frac{mg}{L} \times 0,025 L}{0,125 g}$$

$$q_e = 24,56 \text{ mg/g}$$

5) 150 ppm

$$q_e = \frac{(C_o - C_e) V}{W_a}$$

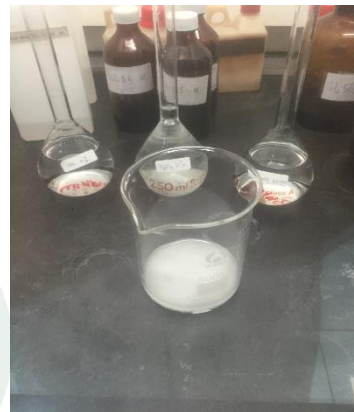
$$q_e = \frac{\left(150 \frac{mg}{L} - 0,1099 \frac{mg}{L}\right) 0,025 L}{0,125 g}$$

$$q_e = \frac{149,8901 \frac{mg}{L} \times 0,025 L}{0,125 g}$$

$$q_e = 29,98 \text{ mg/g}$$

**Lampiran 10 : Dokumentasi Penelitian****a. Preparasi elektroda besi**

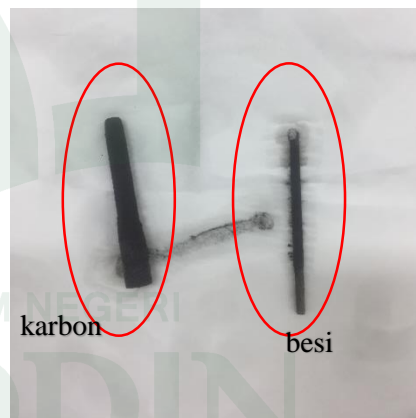
Pengamplasan besi

Perendaman besi dengan  
NaOH 100 ppmPerendaman besi dengan  
HCl 10%Perendaman besi dengan n-  
HeksanPerendaman besi dengan  
H<sub>2</sub>SO<sub>4</sub> 10%

ALAUDDIN  
M A K A S S A R

**b. Pembuatan larutan elektrolit**FeSO<sub>4</sub>.7H<sub>2</sub>O yang ditimbangLarutan elektrolit FeSO<sub>4</sub>**c. Pembuatan elektroda besi dengan teknik elektroplating**

Rangkaian elektroplating



Hasil elektroplating

**d. Pembuatan nanopartikel dengan metode elektrolisis**



Rangkaian elektrolisis



Perubahan larutan selama 24 jam elektrolisis



Penyaringan endapan  $\text{Fe}_3\text{O}_4$



Hasil penyaringan  $\text{Fe}_3\text{O}_4$  dengan variasi voltase

**e. Uji adsorbtivitas logam besi**



Larutan induk  $\text{Fe}(\text{NO}_3)_3$   
1000 ppm



Larutan baku  
100 ppm



Larutan standar 2,4,6,8 dan 10 ppm



Berat adsorben  $\text{Fe}_3\text{O}_4$



Campuran limbah sintetik dengan  
adsorben



Proses pengadukan



Proses penyaringan  
adsorben dengan larutan



Hasil penyaringan yang siap dianalisa  
AAS

## BIOGRAFI



Winda Wiqradhani, dilahirkan di Watansoppeng pada tanggal 23 April 1994 sebagai anak pertama dari dua bersaudara. Anak dari Ir. Darsono dan Dra. Asnida. Jenjang pendidikan yang ia tempuh, TK. Pertiwi pada tahun 1999, SDN 017 Muara Badak Kab. Kutai Kartanegara, SMPN 2 Muara Badak Kab. Kutai Kartanegara pada tahun 2006, SMAN 3 Unggulan Tenggarong pada tahun 2009, kemudian pindah ke di SMA N 2 Watansoppeng pada tahun 2010. Penulis melanjutkan pendidikannya pada tahun 2012 di perguruan tinggi negeri UIN Alauddin Makassar Fakultas Sains dan Teknologi Jurusan Kimia dan menyelesaikan pendidikan dengan gelar strata satu (S1) pada tahun 2017.